



ผลของการใช้เส้นใยจากพืชต่อสมบัติของคอมโพสิตชีวภาพ  
EFFECT OF NATURAL FIBERS ON PROPERTIES OF  
BIODEGRADABLE COMPOSITE

นางสาวจุฑามาส สานตะ รหัส 49360280  
นางสาวมลรัตน์ แซ่อ่อง รหัส 49361508

ห้องสมุดคณะวิศวกรรมศาสตร์
วันที่รับ..... 14 กค 2553 .....
เลขทะเบียน..... 5070272 ๕.๒ .....
เลขเรียกหนังสือ..... 15. ๑6๘8๗ .....
มหาวิทยาลัยเกษตรศาสตร์

๒๕๕๒  
ปริญญานิพนธ์นี้เป็นส่วนหนึ่งของการศึกษาหลักสูตรปริญญาวิทยาศาสตรบัณฑิต  
สาขาวิชาวิศวกรรมอุตสาหการ ภาควิชาวิศวกรรมอุตสาหการ  
คณะวิศวกรรมศาสตร์ มหาวิทยาลัยเกษตรศาสตร์  
ปีการศึกษา 2552



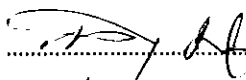
## ใบรับรองปริญญาโท

ชื่อหัวข้อโครงการ ผลของการใช้เส้นใยจากพืชต่อสมบัติของคอมโพสิตชีวภาพ  
ผู้ดำเนินโครงการ นางสาวจุฑามาส สานตะ รหัส 49360280  
นางสาวมลิรัตน์ แซ่อ่อง รหัส 49361508  
ที่ปรึกษาโครงการ คร. นพวรรณ ไม้ทอง  
ที่ปรึกษาร่วมโครงการ คร. อธิศักดิ์ ไสยสุข  
อาจารย์วัฒนชัย เขวรัตน์  
สาขาวิชา วิศวกรรมอุตสาหกรรม  
ภาควิชา วิศวกรรมอุตสาหกรรม  
ปีการศึกษา 2552

คณะวิศวกรรมศาสตร์ มหาวิทยาลัยนครสวรรค์ อนุมัติให้ปริญญาโทฉบับนี้เป็นส่วนหนึ่ง  
ของการศึกษาตามหลักสูตรวิศวกรรมศาสตรบัณฑิต สาขาวิชาวิศวกรรมอุตสาหกรรม

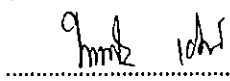
  
.....ที่ปรึกษาโครงการ  
(คร. นพวรรณ ไม้ทอง)

  
.....กรรมการ  
(รศ.ดร.กวิน สนธิเพิ่มพูน)

  
.....กรรมการ  
(อาจารย์ชานา บุญฤทธิ์)

  
.....กรรมการ  
(อาจารย์ศรีสังจา วิทษศักดิ์)

  
.....กรรมการ  
(อาจารย์เสาวลักษณ์ ทองกลั่น)

  
.....กรรมการ  
(อาจารย์วัฒนชัย เขวรัตน์)

ชื่อหัวข้อโครงการ	ผลของการใช้เส้นใยจากพืชต่อสมบัติของคอมโพสิตชีวภาพ		
ผู้ดำเนินโครงการ	นางสาวจุฑามาส	सान๊ะ	รหัส 49360280
	นางสาวมลธิรัตน์	แซ่อ่อง	รหัส 49361508
ที่ปรึกษาโครงการ	ดร. นพวรรณ	ไม้ทอง	
ที่ปรึกษาร่วมโครงการ	ดร. อธิศักดิ์	ไสยสุข	
	อาจารย์วัฒน์ชัย	เยวรัตน์	
สาขาวิชา	วิศวกรรมอุตสาหกรรม		
ภาควิชา	วิศวกรรมอุตสาหกรรม		
ปีการศึกษา	2552		

### บทคัดย่อ

ปริญญานิพนธ์ฉบับนี้ได้ทำการศึกษาถึงผลของชนิดและปริมาณเส้นใย จากกาบหมากแดง กาบกล้วยน้ำว้า ชานอ้อยพันธุ์สุพรรณ 50 และบวบเหลี่ยม ในอัตราส่วน 0.25 %wt, 0.50 %wt, 1 %wt และ 2 %wt ที่มีผลต่อคุณสมบัติการรับแรงดึง ความต้านทานต่อแรงกระแทก ความแข็ง และการดูดซึมน้ำของคอมโพสิตชีวภาพที่มีพลาสติกชีวภาพ PLA เป็นวัสดุเนื้อหลัก

ผลจากการศึกษาพบว่า ชิ้นงานทดสอบที่ผ่านกระบวนการอัดขึ้นรูปโดยใช้เส้นใยพืชจาก กาบหมากแดง กาบกล้วยน้ำว้า ชานอ้อยพันธุ์สุพรรณ 50 และบวบเหลี่ยม ทำให้คุณสมบัติการรับแรงดึง และความต้านทานต่อแรงกระแทก มีค่าลดลง ส่วนคุณสมบัติความแข็งมีค่ามากขึ้น ที่มากที่สุด คือเส้นใยจากชานอ้อยพันธุ์สุพรรณ 50 ที่ปริมาณเส้นใย 2%wt และคุณสมบัติการดูดซึมน้ำ มีค่ามากขึ้น ที่มากที่สุดคือเส้นใยจากกาบหมากที่ปริมาณเส้นใย 2%wt เมื่อเปรียบเทียบกับ พลาสติกชีวภาพ PLA บริสุทธิ์

เมื่อนำการทดลองมาวิเคราะห์ผลทางสถิติ โดยการตรวจสอบความแปรปรวน (ANOVA) ให้ผลว่าชนิดและปริมาณของเส้นใยมีผลต่อคุณสมบัติการรับแรงดึง คุณสมบัติความต้านทานต่อแรงกระแทก คุณสมบัติความแข็ง และคุณสมบัติการดูดซึมน้ำ ของคอมโพสิตชีวภาพที่มีพลาสติกชีวภาพ PLA เป็นวัสดุเนื้อหลัก



## สารบัญ

	หน้า
ใบรับรองปริญญาโท.....	ก
บทคัดย่อภาษาไทย.....	ข
กิตติกรรมประกาศ.....	ค
สารบัญ.....	ง
สารบัญ (ต่อ).....	จ
สารบัญตาราง.....	ฉ
สารบัญรูป.....	ช
สารบัญสัญลักษณ์และอักษรย่อ.....	ซ
สารบัญสัญลักษณ์และอักษรย่อ (ต่อ).....	ฅ
<b>บทที่ 1 บทนำ.....</b>	<b>1</b>
1.1 ความเป็นมาและความสำคัญของโครงการ.....	1
1.2 วัตถุประสงค์ของ โครงการ.....	2
1.3 เกณฑ์ชี้วัดผลงาน.....	2
1.4 เกณฑ์ชี้วัดผลสำเร็จ.....	2
1.5 ขอบเขตการดำเนินงานวิจัย.....	3
1.6 สถานที่ในการดำเนินงานวิจัย.....	3
1.7 ระยะเวลาในการดำเนินงานวิจัย.....	3
1.8 ขั้นตอนและแผนการดำเนินงาน.....	4
<b>บทที่ 2 หลักการและทฤษฎี.....</b>	<b>5</b>
2.1 งานวิจัยที่เกี่ยวข้อง.....	5
2.2 พอลิเมอร์.....	7
2.3 พลาสติก.....	8
2.4 พลาสติกชีวภาพ.....	8
2.5 Polylactic Acid.....	9
2.6 พืชเส้นใย.....	11

## สารบัญ (ต่อ)

2.7 คอมโพลีต.....	12
2.8 การวิเคราะห์ความแปรปรวน.....	14
<b>บทที่ 3 วิธีดำเนินโครงการ.....</b>	<b>17</b>
3.1 การแยกเส้นใยจากพืช.....	17
3.2 การเตรียมชิ้นงานทดสอบ.....	18
3.3 ทดสอบคุณสมบัติของชิ้นงานทดสอบที่ทำจากพอลิเมอร์คอมโพลีระหว่าง พลาสติกชีวภาพ PLA และเส้นใยจากกากหมากแดง กากกล้วยน้ำว้า ชานอ้อยพันธุ์สุพรรณ 50 และบวบเหลี่ยม เมื่อเปรียบเทียบกับพลาสติกชีวภาพ PLA บริสุทธิ์.....	19
3.4 วิเคราะห์ความแปรปรวน.....	34
3.5 สรุปผลการทดสอบ.....	34
<b>บทที่ 4 ผลการทดลองและวิเคราะห์.....</b>	<b>35</b>
4.1 ผลการทดสอบ.....	35
4.2 การวิเคราะห์ความแปรปรวนของข้อมูล.....	43
<b>บทที่ 5 บทสรุปและข้อเสนอแนะ.....</b>	<b>49</b>
5.1 สรุปผลการทดลอง.....	49
5.2 ข้อเสนอแนะ.....	51
<b>เอกสารอ้างอิง.....</b>	<b>52</b>
<b>ภาคผนวก ก.....</b>	<b>55</b>

## สารบัญตาราง

ตารางที่	หน้า
1.1 ขั้นตอนและแผนการดำเนินงาน.....	4
2.1 Properties Of PLA.....	11
2.2 ตารางวิเคราะห์ความแปรปรวน (ANOVA).....	16
3.1 ตารางบันทึกผลคุณสมบัติการรับแรงดึง.....	23
3.2 ตารางบันทึกผลคุณสมบัติความต้านทานต่อแรงกระแทก.....	27
3.3 ตารางบันทึกผลคุณสมบัติความแข็ง.....	30
3.4 ตารางบันทึกผลคุณสมบัติการดูดซับน้ำ.....	33
4.1 ตารางวิเคราะห์ความแปรปรวนของปัจจัยที่มีผลกระทบต่อคุณสมบัติการรับแรงดึง.....	43
4.2 ตารางวิเคราะห์ความแปรปรวนของปัจจัยที่มีผลกระทบต่อคุณสมบัติความต้านทาน ต่อแรงกระแทก.....	44
4.3 ตารางวิเคราะห์ความแปรปรวนของปัจจัยที่มีผลกระทบต่อคุณสมบัติความแข็ง.....	46
4.4 ตารางวิเคราะห์ความแปรปรวนของปัจจัยที่มีผลกระทบต่อคุณสมบัติการดูดซับน้ำ.....	47

## สารบัญรูป

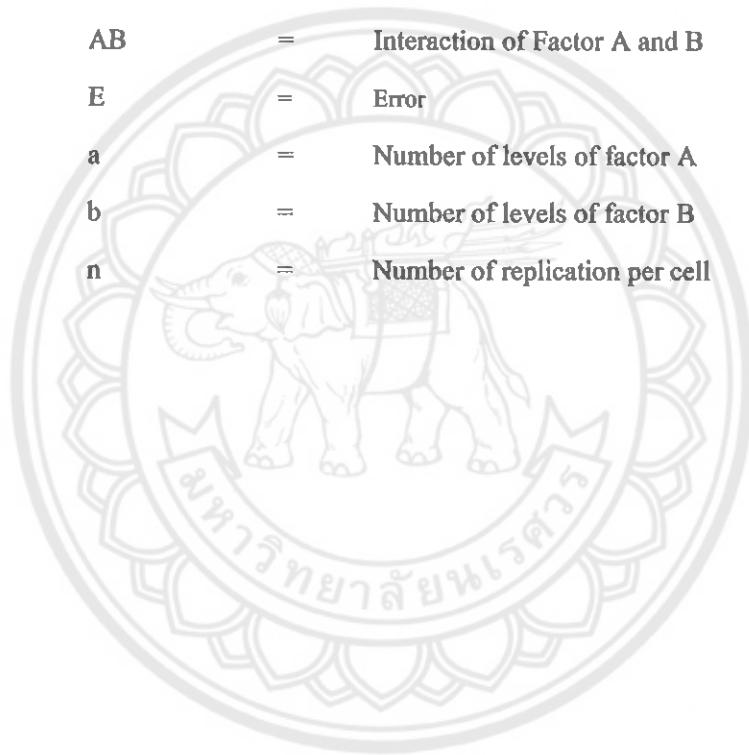
รูปที่	หน้า
2.1 เม็ด PLA.....	9
2.2 ผลิตภัณฑ์จาก PLA.....	10
2.3 การย่อยสลายของผลิตภัณฑ์จาก PLA.....	10
3.1 รูปเครื่องทดสอบคุณสมบัติการรับแรงดึง.....	20
3.2 รูปชิ้นงานรูปคัมเบล.....	20
3.3 แบบชิ้นงานทดสอบคุณสมบัติการรับแรงดึง.....	21
3.4 รูปหน้าจอคำสั่ง.....	21
3.5 รูปการนำชิ้นงานทดสอบคุณสมบัติการรับแรงดึง.....	22
3.6 รูปค้อนตีขนาด 2.71 ฐูลต์.....	24
3.7 รูปเครื่องทดสอบคุณสมบัติความต้านทานต่อแรงกระแทก.....	24
3.8 รูปชิ้นงานทดสอบรูปทรงสี่เหลี่ยมผืนผ้ามีรอยบาก.....	25
3.9 แบบชิ้นงานทดสอบรูปทรงสี่เหลี่ยมผืนผ้ามีรอยบาก.....	25
3.10 รูปการนำชิ้นงานใส่เครื่องทดสอบคุณสมบัติความต้านทานต่อแรงกระแทก.....	25
3.11 สเกลเครื่องทดสอบคุณสมบัติความต้านทานต่อแรงกระแทก.....	26
3.12 รูปหัวทดสอบคุณสมบัติความแข็ง.....	28
3.13 รูปชิ้นงานทดสอบคุณสมบัติความแข็ง.....	29
3.14 รูปการทดสอบคุณสมบัติการดูดซับน้ำ.....	32
4.1 กราฟแสดงคุณสมบัติการรับแรงดึงที่เส้นใยแต่ละชนิด.....	36
4.2 กราฟแสดงคุณสมบัติการรับแรงดึงที่ปริมาณเส้นใยที่แตกต่างกัน.....	36
4.3 กราฟแสดงคุณสมบัติความต้านทานต่อแรงกระแทกที่เส้นใยแต่ละชนิด.....	37
4.4 กราฟแสดงคุณสมบัติความต้านทานต่อแรงกระแทกที่ปริมาณเส้นใยที่แตกต่างกัน.....	38
4.5 กราฟแสดงคุณสมบัติความแข็งที่เส้นใยแต่ละชนิด.....	40
4.6 กราฟแสดงคุณสมบัติความแข็งที่ปริมาณเส้นใยที่แตกต่างกัน.....	40
4.7 กราฟแสดงคุณสมบัติการดูดซับน้ำเมื่อระยะเวลาผ่านไป 1 วัน.....	41
4.8 กราฟแสดงคุณสมบัติการดูดซับน้ำเมื่อระยะเวลาผ่านไป 7 วัน.....	42

## สารบัญญัตยัลักษณะและอักษรย่อ

%wt	=	Percent by weight
PBS	=	polybutylene succinate
PCL	=	polycaprolactone
PHA	=	polyhydroxyalkanoates
PLA	=	polylacticacid
ASTM D638	=	การทดสอบคุณสมบัติการรับแรงดึง
ASTM D256	=	การทดสอบคุณสมบัติความต้านทานต่อแรงกระแทก
ASTM D2240	=	การทดสอบคุณสมบัติความแข็ง
ASTM D6400	=	การทดสอบคุณสมบัติการย่อยสลาย
NaOH	=	โซเดียมไฮดรอกไซด์
DMA	=	Dynamic mechanical analysis
$T_g$	=	Glass transition temperature
MCC	=	microcrystalline cellulose
DMTA	=	Dynamic Mechanical Thermal Analysis
SPE	=	สมาคมวิศวกรพลาสติก
SPI	=	สมาคมอุตสาหกรรมพลาสติก
GRAS	=	Generally recognized as safe
$T_m$	=	melting point temperature
$^{\circ}\text{C}$	=	องศาเซลเซียส
GPa	=	จิกกะปาสกาล
PP	=	Polypropylene
PET	=	Poly(ethylene terephthalate)
PS	=	Poystyrene
Kg	=	กิโลกรัม
kN	=	กิโลนิวตัน
mm.	=	มิลลิเมตร
min.	=	นาที
MPa	=	เมกกะปาสกาล
J	=	จูลล์
$\text{mm}^2$	=	ตารางมิลลิเมตร

## สารบัญสัญลักษณ์และอักษรย่อ (ต่อ)

$H_0$	=	ค่ากลางของประชาชน (กระบวนการ) ไม่แตกต่างกัน
$H_1$	=	อย่างน้อย 2 ประชากร (กระบวนการ) มีความแตกต่างกัน
SS	=	Sum square
T	=	Total
A	=	Factor A
B	=	Factor B
AB	=	Interaction of Factor A and B
E	=	Error
a	=	Number of levels of factor A
b	=	Number of levels of factor B
n	=	Number of replication per cell



# บทที่ 1

## บทนำ

### 1.1 ความเป็นมาและความสำคัญของโครงการ

ในปัจจุบันพลาสติกเป็นวัสดุที่นำมาใช้อย่างกว้างขวาง เนื่องจากมีน้ำหนักที่เบา ราคาถูก ทนต่อความชื้นได้ดี และสามารถขึ้นรูปเป็นผลิตภัณฑ์รูปร่างต่างๆ ได้ง่ายกว่าวัสดุชนิดอื่น ผลิตภัณฑ์จากพลาสติกหลายชนิดถูกออกแบบสำหรับการใช้งานครั้งเดียว ด้วยเหตุนี้จึงเป็นปัจจัยเร่งให้เกิดขยะเป็นจำนวนมากในแต่ละปี และส่งผลกระทบต่อในด้านการกำจัด และการนำกลับมาใช้ใหม่ แต่ก็ยังไม่สามารถทำได้อย่างเต็มที่ เนื่องจากค่าใช้จ่ายในการจัดการขยะและการนำมาใช้ใหม่ค่อนข้างสูง

เมื่อพิจารณาด้านวัตถุดิบที่ใช้ในการผลิตพลาสติก นอกจากจะมีแนวโน้มของราคาสูงขึ้นตามราคาน้ำมันแล้วยังอาจเกิดวิกฤติด้านการขาดแคลนวัตถุดิบ รวมถึงปัญหาด้านสิ่งแวดล้อมทั้งทางอากาศ ดิน และน้ำ ผลกระทบเหล่านี้จึงเป็นแรงผลักดันในการค้นหาแหล่งพลังงาน และแหล่งวัตถุดิบที่ทดแทนใหม่ได้ (Renewable Resources) ที่มีวงจรการผลิตค่อนข้างสั้น เช่น ผลผลิตทางการเกษตร และมีคุณสมบัติที่สำคัญ คือ สามารถย่อยสลายได้โดยเรียก พอลิเมอร์ หรือ พลาสติกเพื่อวัตถุประสงค์นี้ว่า พลาสติกชีวภาพ (Biodegradable Polymer)

พลาสติกชีวภาพ คือพอลิเมอร์ที่สลายตัวได้โดยใช้เอนไซม์จากจุลินทรีย์ในการตัดสายโซ่แล้วได้ผลิตภัณฑ์เป็นสาร โมเลกุลเล็กที่มีตามธรรมชาติ เช่น น้ำ แอลกอฮอล์ คาร์บอน ไดออกไซด์ เป็นต้น ซึ่งมีการใช้พลาสติกชีวภาพที่ใช้กันอยู่ในปัจจุบันประกอบด้วยพอลิเมอร์ 4 ตระกูลใหญ่ คือ polybutylene succinate(PBS), polycapolactone(PCL), polyhydroxyalkanoates(PHA), polylactic acid(PLA) ซึ่งปัจจุบันนิยมใช้ PLA มากที่สุด

การย่อยสลายง่ายของพลาสติกชีวภาพที่ผลิตจากวัสดุธรรมชาติ ทำให้ผลิตภัณฑ์ที่ได้จากพลาสติกชีวภาพไม่แข็งแรง ไม่ทนทาน มีอายุการใช้งานสั้นกว่า และต้นทุนการผลิตก็สูงกว่า เมื่อเทียบกับพลาสติกสังเคราะห์ทั่วไปที่ผลิตจากสารปิโตรเคมี

เนื่องจากพลาสติกชีวภาพมีต้นทุนการผลิตค่อนข้างสูง ทำให้พลาสติกชีวภาพมีราคาแพงกว่าพลาสติกสังเคราะห์ที่ใช้กันทั่วไปอยู่ 2 – 3 เท่าจึงมีการประยุกต์ใช้เส้นใยธรรมชาติ (Natural Fibers) มาใช้ประ โยชน์เป็นเส้นใยเสริมแรงในวัสดุคอม โปสิทเพื่อลดต้นทุนการผลิต อีกทั้งประเทศไทยยังมีเส้นใยธรรมชาติมากมาย บางชนิดเป็นเศษเหลือทิ้งจาก ภาคการเกษตรและอุตสาหกรรม เช่น เส้นใยอ้อยจากอุตสาหกรรมน้ำตาล ฯลฯ

จากการศึกษาแนวทางการนำเส้นใยธรรมชาติมาใช้เป็นวัสดุเสริมแรง ได้มีผู้ศึกษาโดยใช้เส้นใยจากกล้วยน้ำว้า และเส้นใยป่านศรนารายณ์ เสริมแรงให้กับพอลิโพรพิลีน จากการทดลองพบว่าเส้นใยทั้งสองชนิดทำให้ค่ามอดูลัสของพอลิเมอร์เชิงประกอบสูงกว่าพอลิโพรพิลีนเมทริกซ์ และ

สูงขึ้นตามปริมาณเส้นใยต่ำ (1 - 5 เปอร์เซ็นต์) แต่เมื่อเพิ่มปริมาณเส้นใยมากขึ้น ค่าความแข็งแรงในเชิงการดึงลดลง พอลิเมอร์เชิงประกอบจากเส้นใยกล้วยน้ำว้าและเส้นใยป่านขนารายณ์มีค่าความต้านทานต่อแรงกระแทกใกล้เคียงกัน

งานวิจัยนี้จัดทำขึ้นเพื่อศึกษาคุณสมบัติต่างๆ ของชิ้นงานทดสอบจากการใช้พลาสติกชีวภาพร่วมกับเส้นใยจากพืชซึ่งสามารถนำไปสู่ความเป็นไปได้ในการลดต้นทุนการผลิตบรรจุภัณฑ์จากพลาสติกชีวภาพที่มีราคาสูง

## 1.2 วัตถุประสงค์ของโครงการ

เพื่อศึกษาถึงผลของชนิดและปริมาณเส้นใยจากกาบหมากแดง กาบกล้วยน้ำว้า ชานอ้อยพันธุ์สุพรรณ 50 และบวบเหลี่ยม ที่มีผลต่อคุณสมบัติการรับแรงดึง ความต้านทานต่อแรงกระแทก ความแข็ง และการย่อยสลายของคอมโพสิตชีวภาพที่มีพลาสติกชีวภาพ PLA เป็นวัสดุเนื้อหลัก

## 1.3 เกณฑ์ชี้วัดผลงาน (Output)

ทราบถึงผลของชนิดและปริมาณเส้นใยจากกาบหมากแดง กาบกล้วยน้ำว้า ชานอ้อยพันธุ์สุพรรณ 50 และบวบเหลี่ยม ที่มีต่อคุณสมบัติการรับแรงดึง ความต้านทานต่อแรงกระแทก ความแข็ง และการย่อยสลายของคอมโพสิตชีวภาพที่มีพลาสติกชีวภาพ PLA เป็นวัสดุเนื้อหลัก

## 1.4 เกณฑ์ชี้วัดผลสำเร็จ (Outcome)

1.4.1 - สถานะในการขึ้นรูปของชิ้นงานทดสอบที่ทำจากคอมโพสิตชีวภาพระหว่างพลาสติกชีวภาพ PLA และเส้นใยจากกาบหมากแดง กาบกล้วยน้ำว้า ชานอ้อยพันธุ์สุพรรณ 50 และบวบเหลี่ยม

1.4.2 - ปัจจัยที่มีผลต่อคุณสมบัติการรับแรงดึง ความต้านทานต่อแรงกระแทก ความแข็ง และการย่อยสลาย ของคอมโพสิตชีวภาพที่มีพลาสติกชีวภาพ PLA เป็นวัสดุเนื้อหลัก

## 1.5 ขอบเขตในการดำเนินงานวิจัย

### 1.5.1 ตัวแปรควบคุม

- วัสดุเนื้อหลัก คือพลาสติกชีวภาพ PLA เกรด 2002D

### 1.5.2 ตัวแปรที่ศึกษา

1.5.2.1 ชนิดของเส้นใย 4 ชนิด คือกาบหมากแดง กาบกล้วยน้ำว้า ชานอ้อยพันธุ์สุพรรณ 50 และบวบเหลี่ยม

1.5.2.2 ปริมาณของเส้นใยกาบหมากแดง กาบกล้วยน้ำว้า ชานอ้อยพันธุ์สุพรรณ 50 และบวบเหลี่ยม ที่นำมาทำคอมโพสิตชีวภาพ

1.5.2.3 สมบัติของคอมโพสิตชีวภาพ ได้แก่คุณสมบัติการรับแรงดึง ความต้านทานต่อแรงกระแทก ความแข็ง และการย่อยสลาย

### 1.5.3 เตรียมชิ้นงานทดสอบโดยวิธีอัดขึ้นรูปด้วยความร้อน (Compression Molding)

### 1.5.4 ทดสอบคุณสมบัติการรับแรงดึงโดยใช้มาตรฐาน ASTM D638

### 1.5.5 ทดสอบคุณสมบัติความต้านทานต่อแรงกระแทกโดยใช้มาตรฐาน ASTM D256

### 1.5.6 ทดสอบคุณสมบัติความแข็งตามมาตรฐาน ASTM D2240

### 1.5.7 ทดสอบคุณสมบัติการย่อยสลายตามมาตรฐาน ASTM D6400

## 1.6 สถานที่ในการดำเนินงานวิจัย

ภาควิชาวิศวกรรมอุตสาหกรรม คณะวิศวกรรมศาสตร์ มหาวิทยาลัยนเรศวร  
ภาควิชาเคมี คณะวิทยาศาสตร์ มหาวิทยาลัยนเรศวร

## 1.7 ระยะเวลาในการดำเนินงานวิจัย

ตั้งแต่วันที่ 1 กรกฎาคม 2552 – 23 เมษายน 2553 เป็นระยะเวลา 10 เดือน



## บทที่ 2

### หลักการและทฤษฎี

#### 2.1 งานวิจัยที่เกี่ยวข้อง

สมเกียรติ ปฐมภินันท์ และคณะ (2545) ได้ทำการศึกษาความเป็นไปได้ในการแยกเส้นใยจากกากหมากนวลนี้สามารถแบ่งแยกกรรมวิธีการแยกเส้นใยได้ 2 กรรมวิธี คือ 1. การขูดสด 2. การต้มด้วยโซเดียมไฮดรอกไซด์ (NaOH) ที่ความเข้มข้นและเวลาต่างกัน เพื่อต้องการหาว่าวิธีใดสามารถแยกเส้นใยจากกากหมากนวลได้ดีที่สุดจากการทดลองทราบว่าวิธีที่สามารถแยกเส้นใยจากกากหมากนวลปริมาณมากที่สุด คือวิธีแยกโดยใช้ต้มด้วยโซเดียมไฮดรอกไซด์ที่เข้มข้น 16 เปอร์เซ็นต์ ที่ใช้เวลา 90 นาที ได้จำนวนเส้นใย 4.32 กรัมต่อกาก 500 กรัม โดยใช้เวลาแยก 60 นาที ลักษณะภาคตัดขวางเหมือนเส้นใยลินินและภาคตามยาวเป็นทรงกระบอกมีเส้นตรงสีดำอยู่ภายในเส้นใย ความแข็งแรงของเส้นใยที่ได้จากการขูดสด มีความแข็งแรงเท่ากับ 83.847 gf. ความยาวเส้นใยมีความยาวมากที่สุดคือวิธีการแยกแบบขูดสดมีความยาว 212 มิลลิเมตรและมีขนาดเส้นใย 42 Dtex

ปราณี ชุมสำโรง (2547) จากการศึกษาวิจัยของคณะผู้ศึกษาการนำเส้นใยกล้วยมาเป็นวัสดุเสริมแรงสำหรับพอลิเมอร์ประเภทเทอร์โมเซต ซึ่งได้แก่ฟีนอลฟอร์มาลดีไฮด์เรซิน และพอลิเอสเตอร์ เปรียบเทียบคุณสมบัติเชิงกลของพอลิเมอร์เชิงประกอบของฟีนอลฟอร์มาลดีไฮด์เรซินที่ใช้เส้นใยกล้วยกับเส้นใยแก้วเป็นวัสดุเสริมแรง จากข้อมูลวิจัยพบว่าความยาวของเส้นใยที่ให้ค่าความแข็งแรงในเชิงการดึงมากที่สุดคือ 30 มิลลิเมตร สำหรับเส้นใยกล้วยและ 40 มิลลิเมตรสำหรับเส้นใยแก้วค่ามอดูลัสและความแข็งแรงในเชิงการดึงของพอลิเมอร์เชิงประกอบทั้งสองชนิดเพิ่มขึ้นตามการเพิ่มปริมาณของเส้นใย เมื่อคำนวณหาค่าความแข็งแรงของโมดูลัสจำเพาะ (Strength or Modulus/Density) ของพอลิเมอร์เชิงประกอบ ในงานวิจัยนี้พบว่าพอลิเมอร์เชิงประกอบจากเส้นใยกล้วยมีค่าสูงกว่ากรณีใช้เส้นใยแก้ว และค่าความต้านทานต่อแรงกระแทกของพอลิเมอร์เชิงประกอบทั้งสองชนิดมีค่าเพิ่มขึ้นตามการเพิ่มขึ้นของปริมาณเส้นใย จะเห็นได้ว่าพอลิเมอร์เชิงประกอบจากเส้นใยกล้วยมีคุณสมบัติเชิงกลจำเพาะที่ดีเทียบเท่ากับพอลิเมอร์เชิงประกอบจากเส้นใยแก้ว ดังนั้นจึงเป็นไปได้ที่จะใช้พอลิเมอร์เชิงประกอบจากเส้นใยกล้วยสำหรับผลิตวัสดุโครงสร้าง (Structural Materials) ศึกษาถึงผลของอุณหภูมิ ความถี่ และปริมาณเส้นใยที่มีต่อคุณสมบัติความยืดหยุ่นหนืด (Viscoelastic Properties) ของพอลิเมอร์เชิงประกอบระหว่างพอลิเอสเตอร์และเส้นใยกล้วยโดยใช้ดีเอ็มเอ (Dynamic Mechanical Analysis, DMA) และที่อุณหภูมิสูงกว่าอุณหภูมิทรานซิชันแก้ว (Glass Transition Temperature,  $T_g$ ) ของพอลิเมอร์เมทริกซ์ค่าโคนามิโกมอดูลัสของพอลิเมอร์เชิงประกอบมีค่าเพิ่มตามการเพิ่มปริมาณเส้นใย และที่ปริมาณเส้นใยเท่ากับ 40 เปอร์เซ็นต์ ค่า  $T_g$  ของพอลิเมอร์

เชิงประกอบเคลื่อนไปทางด้านที่อุณหภูมิสูงขึ้นเมื่อเพิ่มความถี่ที่ใช้ในการทดสอบสิ่งนี้แสดงให้เห็นว่าเส้นใยกับพอลิเมอร์เมทริกซ์ยึดเหนี่ยวกันดีขึ้นที่สัดส่วนของเส้นใยสูงและจากงานวิจัยดังกล่าวจึงมีการศึกษาวิจัยถึงคุณสมบัติเชิงกลของพลาสติกเสริมแรงด้วยเส้นใยธรรมชาติที่มีในประเทศไทยหรือพอลิเมอร์เชิงประกอบจากเส้นใยธรรมชาติ โดยเส้นใยธรรมชาติที่เลือกใช้ ได้แก่ เส้นใยกล้วยน้ำว้าและเส้นใยป่านศรนารายณ์ จากผลการศึกษาคุณสมบัติเชิงกลซึ่งประกอบด้วย การทดสอบคุณสมบัติการดึงและการทดสอบค่าความต้านทานต่อแรงกระแทก พบว่าค่ามอดูลัสของพอลิเมอร์เชิงประกอบจากเส้นใยทั้งสองชนิดมีค่าสูงกว่าพอลิโพรพิลีนเมทริกซ์ และมีค่าสูงขึ้นตามปริมาณเส้นใยที่เพิ่มขึ้น ค่าความแข็งแรงในเชิงการดึงมีค่าสูงกว่าพอลิโพรพิลีนเมื่อใช้ปริมาณเส้นใยค่า (1-5%) แต่เมื่อเพิ่มปริมาณเส้นใยมากขึ้นค่าความแข็งแรงในเชิงการดึงลดลง ที่เปอร์เซ็นต์เส้นใยเท่ากับพอลิเมอร์เชิงประกอบจากเส้นใยกล้วยน้ำว้ามีค่ามอดูลัส และค่าความแข็งแรงในการดึงสูงกว่าพอลิเมอร์เชิงประกอบจากเส้นใยป่านศรนารายณ์เล็กน้อย ค่าความต้านทานต่อแรงกระแทกของพอลิเมอร์เชิงประกอบจากเส้นใยทั้งสองชนิดมีค่าใกล้เคียงกันและมีค่าลดลงตามปริมาณเส้นใยที่เพิ่มขึ้น จากการตรวจสอบลักษณะ โครงสร้างของพอลิเมอร์เชิงประกอบด้วยกล้องจุลทรรศน์พบว่า พอลิเมอร์เชิงประกอบที่ใช้ปริมาณเส้นใยสูงมีแนว โนม์ที่จะเกิดรอยโหว่ภายในชิ้นงาน

K.Oksman และ L.Peterson (2549) ได้ศึกษาการเปรียบเทียบสมบัติทางกลและสมบัติทางความร้อนของคอมโพสิตพอลิเมอร์ชีวภาพ โดยพอลิเมอร์ชีวภาพที่ศึกษา คือพอลิแลคติกแอซิด (PLA) ทำให้เป็นคอมโพสิตกับวัสดุเสริมแรงสองชนิด คือเบนโทไนท์ (Bentonite) และmicrocrystalline cellulose(MCC) ที่ความเข้มข้นของวัสดุเสริมแรง 5 wt% ด้วยวิธีหล่อขึ้นรูปจากสารละลาย (Solution Casting) จากผลการทดลองพบว่า คอมโพสิตของเบนโทไนท์ให้ค่า Tensile Modulus และค่าความแข็งแรงเพิ่มขึ้นมาก แต่การยึดตัวของคอมโพสิตลดต่ำลงมากเมื่อเปรียบเทียบกับ PLA ในขณะที่คอมโพสิตของ MCC สามารถเพิ่มค่าความแข็งแรงได้พอสมควร แต่คอมโพสิตของ MCC ไม่ทำให้สมบัติการยึดตัวของคอมโพสิตต่างจากของ PLA นอกจากนี้ผลการทดลองที่ได้จากเครื่อง Dynamic Mechanical Thermal Analysis (DMTA) แสดงว่าคอมโพสิตทั้งคู่มีค่า  $T_g$  สูงขึ้นจาก PLA ประมาณ 2 องศาเซลเซียส

S.B.Mishra และคณะ (2550) ได้ศึกษาสมบัติของพอลิเมอร์ระหว่างพอลิไวนิลคลอไรด์ (PVC) และพอลิเมอร์ชีวภาพที่ได้จากถิกนิน โดยทำการเตรียมพอลิเมอร์ ผสมด้วยวิธีหล่อขึ้นรูปจากสารละลาย และนำฟิล์มพอลิเมอร์ที่ได้ไปทดสอบ ผลการทดลองแสดงให้เห็นว่าพอลิเมอร์ทั้งสองผสมเข้ากันได้ และพอลิเมอร์ผสมมีความสามารถในการโค้งงอ (Flexibility) ได้มากขึ้น แต่ค่า  $T_g$  มีค่าต่ำลงเนื่องจากผลของแรงยึดเหนี่ยวระหว่าง โมเลกุลที่ต่ำลง จากการทดลองนี้แสดงให้เห็นว่าสามารถปรับปรุงสมบัติบางประการของพอลิเมอร์ผสมได้ เมื่อนำมาผสมกับพอลิเมอร์อีกชนิดหรือสารเติมแต่งที่มีสมบัติที่ต้องการ

รวรวดี สุชัยยะ (2551) จากการศึกษางานวิจัยการเตรียมฟิล์มไบโอคอมโพสิตของแป้งมันสำปะหลังที่เสริมแรงด้วยคริสตัลลินเซลลูโลสที่เตรียมจากวัตถุดิบทางการเกษตร คือชานอ้อย และกากกล้วย ด้วยวิธีการไฮโดรไลซิสด้วยกรดซัลฟิวริกและกรดไฮโดรคลอริก พบว่าฟิล์มที่เสริมแรงด้วยไมโครคริสตัลลินเซลลูโลสจะมีความใสน้อยกว่าฟิล์มที่ไม่ถูกเสริมแรงด้วย ไมโครคริสตัลลินเซลลูโลส ความขุ่นของฟิล์มไบโอคอมโพสิตเพิ่มขึ้นเมื่อปริมาณของไมโครคริสตัลลินเซลลูโลสเพิ่มขึ้น นอกจากนี้การเติมไมโครคริสตัลลินเซลลูโลสลงในฟิล์มแป้ง สามารถปรับปรุงค่าความทนต่อแรงดึงและค่า Young's Modulus ของฟิล์มแป้งที่เติมพลาสติกไซเซออร์ ค่าความทนต่อแรงดึง และค่า Young's Modulus สูงสุดของฟิล์มไบโอคอมโพสิตที่เตรียมได้มีค่าในช่วง 10-15 เมกะปาสกาล และ 600 - 800 เมกะปาสกาล ตามลำดับ ฟิล์มไบโอคอมโพสิตมีความสามารถในการย่อยสลายมากกว่าฟิล์มแป้งที่เติมพลาสติกไซเซออร์ อีกทั้งความสามารถในการย่อยสลายของฟิล์มเพิ่มมากขึ้นเมื่อขนาดและปริมาณของไมโครคริสตัลลินเซลลูโลสเพิ่มมากขึ้น ซึ่งผลที่ได้สอดคล้องกับผลของการดูดซึมน้ำของฟิล์มไบโอคอมโพสิต ฟิล์มไบโอคอมโพสิตที่เสริมแรงด้วยไมโครคริสตัลลินเซลลูโลสของชานอ้อยที่เตรียมจากกรดไฮโดรคลอริก มีเสถียรภาพทางความร้อน สมบัติเชิงกล และความสามารถในการย่อยสลายที่ดีกว่าฟิล์มไบโอคอมโพสิตอื่น ๆ ที่เตรียมได้รวมทั้งฟิล์มแป้งที่เติมพลาสติกไซเซออร์

## 2.2 พอลิเมอร์ (Polymer)

พอลิเมอร์มาจากคำกรีก 2 คำ คือ POLY แปลว่าหลายๆ หรือมาก และ MER แปลว่า หน่วยหรือส่วน ดังนั้นพอลิเมอร์จึงเป็นสารที่มีโมเลกุลยาวมาก มีน้ำหนักโมเลกุลสูงมาก และโมเลกุลเหล่านี้ประกอบด้วยหน่วยที่ซ้ำๆ กันเป็นจำนวนมาก

พอลิเมอร์เป็นสารประกอบอินทรีย์ที่มีน้ำหนักโมเลกุลสูง (High Molecular Weight) เกิดขึ้นในธรรมชาติ หรือสังเคราะห์ขึ้นมา ประกอบด้วยหน่วยเคมีเล็กๆ ซึ่งเหมือนกันที่เรียกว่าโมโนเมอร์ (Monomer) มาต่อกันด้วยพันธะเคมี (Chemical Bond)

พอลิเมอร์ คือ สารเคมีที่มีน้ำหนักโมเลกุลสูง 5000 ขึ้นไป ได้จากการรวมตัวของพอลิเมอร์ชนิดเดียวกันหรือต่างกัน เช่น พอลิเอทิลีน ยาง เซลลูโลส

โมโนเมอร์ คือ สารตั้งต้นที่ใช้ในการสังเคราะห์พอลิเมอร์

พอลิเมอร์แบ่งออกเป็น 2 ชนิด คือ

2.2.1 พอลิเมอร์ในธรรมชาติ (Natural Polymers) คือ ไม้ ฝ้าย เส้นใยธรรมชาติ ยาง หนัง ขนสัตว์ ฯลฯ

2.2.2 พอลิเมอร์สังเคราะห์ (Synthetic Polymers) คือ พลาสติก

พอลิเมอร์สังเคราะห์ หรือพลาสติกเป็นส่วนหนึ่งของเคมีอินทรีย์ที่เกิดจากการรวมตัว (Union) ของโมเลกุลต่างๆ หรือโมเลกุลอิสระ โดยผ่านขบวนการสังเคราะห์ทางเคมีที่เรียกว่าพอลิเมอไรเซชัน (Polymerization)

### 2.3 พลาสติก

พลาสติกคือสารสังเคราะห์ (Synthetic Materials) ที่มนุษย์คิดค้นขึ้นมา มีโครงสร้างโมเลกุลขนาดใหญ่มาก (Macromolecule) ประกอบด้วยธาตุสำคัญ คือคาร์บอน ไฮโดรเจน ออกซิเจน ไนโตรเจน คลอรีน ฟลูออรีน ฯลฯ

สมาคมวิศวกรพลาสติก (SPE) และสมาคมอุตสาหกรรมพลาสติก (SPI) แห่งสหรัฐอเมริกาได้ให้คำจำกัดความของพลาสติกไว้ดังนี้

พลาสติก คือ วัสดุที่ประกอบด้วยสารหลายอย่าง มีน้ำหนักโมเลกุลสูง คงรูปเมื่อผ่านกรรมวิธีการผลิต ลักษณะอ่อนตัวขณะทำการผลิต ซึ่งโดยมากใช้กรรมวิธีการผลิตด้วยความร้อน หรือแรงอัด หรือทั้งสองอย่าง

พลาสติกเป็นสารประกอบพวกไฮโดรคาร์บอน (Hydrocarbon) ชนิดหนึ่ง ทั้งนี้เพราะพลาสติกส่วนมากมีแหล่งกำเนิดจากน้ำมันและก๊าซธรรมชาติ มีพลาสติกหลายชนิดที่มีเฉพาะธาตุไฮโดรเจนและคาร์บอนล้วนๆ ผสมอยู่ แต่พลาสติกส่วนมากยังประกอบด้วยธาตุชนิดอื่นๆ อีก เช่นออกซิเจน ไนโตรเจน คลอรีน ฟลูออรีน ฟอสฟอรัส กำมะถัน ฯลฯ

### 2.4 พลาสติกชีวภาพ (Bioplastic)

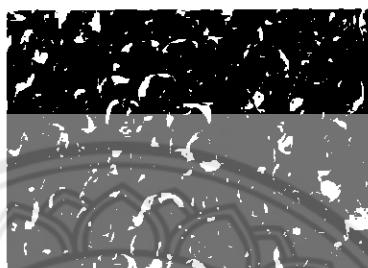
พลาสติกชีวภาพ หรือ พลาสติกชีวภาพย่อยสลายได้ (Biodegradable Plastic) หมายถึงพลาสติกที่ผลิตขึ้นจากวัสดุธรรมชาติส่วนใหญ่เป็นพืช สามารถย่อยสลายได้ในธรรมชาติ (Biodegradable) ช่วยลดปัญหามลพิษในสิ่งแวดล้อม

วัสดุธรรมชาติที่สามารถนำมาผลิตเป็นพลาสติกชีวภาพมีหลายชนิด เช่น Cellulose Collagen Casein Polyester แป้ง (Starch) โปรตีนจากถั่ว และข้าวโพด เป็นต้น และในบรรดาวัสดุธรรมชาติทั้งหลาย แป้ง นับว่าเหมาะสมที่สุดเพราะมีจำนวนมากและราคาถูก เนื่องจากสามารถหาได้จากพืชชนิดต่างๆ เช่นข้าวโพด ข้าวสาลี มันฝรั่ง มันเทศ มันสำปะหลัง เป็นต้น

พลาสติกชีวภาพที่ผลิตจากแป้ง โดยตรงจะมีขีดจำกัด เพราะจะเกิดการพองตัวและเสียรูปร่างเมื่อได้รับความชื้น จึงได้มีการใช้เชื้อจุลินทรีย์เข้าไปย่อยสลายแป้ง แล้วเปลี่ยนแป้งให้กลายเป็นโมโนเมอร์ ที่เรียกว่ากรดแลคติก (Lactic Acid) จากนั้นนำไปผ่านกระบวนการ พอลิเมอไรเซชัน ทำให้กรดแลคติกเชื่อมกันเป็นสายยาวที่เรียกว่า พอลิเมอร์

## 2.5 Polylactic acid (PLA)

Polylactic acid หรือ Polylactide เป็นพลาสติกที่ผลิตจากข้าวโพดหรืออ้อย แต่ส่วนใหญ่นิยมผลิตจากข้าวโพด กระบวนการผลิตคือจะนำเมล็ดข้าวโพดไปทำเป็นแป้งแล้วนำแป้งที่ได้ไปผ่านกระบวนการหมัก (Fermentation) โดยใช้แบคทีเรีย Lactobacillus Brevis ได้ผลผลิตเป็นกรดแลคติก ซึ่งกรดแลคติกนี้เป็น โมโนเมอร์ที่จะนำไปใช้เป็นสารตั้งต้นในการผลิตเป็นพลาสติก โดยนำไปผ่านกระบวนการพอลิเมอไรเซชัน ได้เป็นพอลิเมอร์ที่เรียกว่า PLA



รูปที่ 2.1 เม็ด PLA

ที่มา : [http://www.purac.com/urc/file2/purac\\_sites/jose/26fff7b2613f7b8104784b289c62bc6f/pu/PLA\\_materials.JPG.jpg](http://www.purac.com/urc/file2/purac_sites/jose/26fff7b2613f7b8104784b289c62bc6f/pu/PLA_materials.JPG.jpg)

### 2.5.1 ข้อได้เปรียบของ PLA

2.5.1.1 ไม่ต้องใช้ปิโตรเลียมเป็นวัตถุดิบ แต่สามารถผลิตได้จากผลิตผลทางการเกษตร (ซึ่งใช้เวลาในการผลิตที่ไม่ยาวนาน ดังนั้นจึงสามารถขจัดปัญหาการขาดแคลนวัตถุดิบออกไปได้)

2.5.1.2 สามารถควบคุมราคาและต้นทุนการผลิตได้ง่ายกว่าผลิตภัณฑ์จากปิโตรเลียม

2.5.1.3 ถึงแม้ว่าในขณะที่เทคโนโลยีในการผลิตยังคงถูกจำกัดอยู่ในวงแคบ ทำให้ต้นทุนการผลิตยังคงสูงกว่าพลาสติกทั่วไปอยู่เล็กน้อย แต่คาดว่าแนวโน้มราคาจะลดลงเมื่อผู้ผลิตเข้าสู่ตลาดมากขึ้น

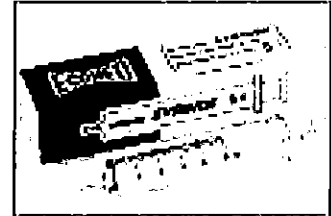
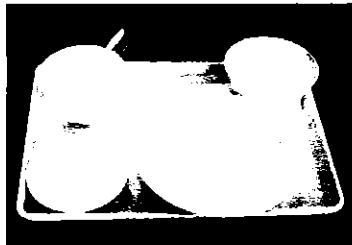
2.5.1.4 เป็นมิตรต่อสิ่งแวดล้อม การลดอัตราการปลดปล่อยของเสียสู่สิ่งแวดล้อม

2.5.1.5 นอกจากจะสามารถลดอัตราการปลดปล่อยก๊าซคาร์บอนไดออกไซด์ในระหว่างกระบวนการสังเคราะห์ด้วยแสง

2.5.1.6 สมบัติการย่อยสลายได้เองทางชีวภาพ ผลจากการย่อยสลาย โดยทำให้เกิดการแตกตัวของสายโซ่ยาว ได้เป็นกรดแลคติกกลับมาคั่งเดิม ซึ่งกระบวนการย่อยสลายนี้เกิดขึ้นได้ทั้งในร่างกายของสิ่งมีชีวิต หรือในสภาวะนอกร่างกาย เช่น ในดิน

### 2.5.2 ผลิตภัณฑ์จาก PLA

ผลิตเป็นอุปกรณ์ใช้แล้วทิ้ง เช่น งานอาหาร แก้วพลาสติก ถ้วยพลาสติก เข็มฉีดยา ซ้อน  
 ส้อม อุปกรณ์ทางการแพทย์(ภาชนะปลูกพืชที่ย่อยสลายได้) แผ่นซีดี เป็นต้น



รูปที่ 2.2 ผลิตภัณฑ์จาก PLA

ที่มา : [http://www.mwit.ac.th/~sasinee/studentwork/work/105\\_mwit13/room3/plas\\_corn.pps](http://www.mwit.ac.th/~sasinee/studentwork/work/105_mwit13/room3/plas_corn.pps)

ผลิตภัณฑ์จาก PLA มีคุณสมบัติพิเศษ คือเป็นสารที่ทนทานต่อการซึมผ่านของน้ำ มีความใส ไม่ย่อยสลายในสภาพแวดล้อมทั่วไป แต่สามารถย่อยสลายได้เอง เมื่อนำไปฝังกลบในดิน ในระยะเวลาอันสั้น และยังสามารถนำไปเป็นปุ๋ยหมักโดยไม่ทำลายธรรมชาติ และสามารถย่อยสลายได้ภายใน 4-5 สัปดาห์ โดยความร้อน ความชื้นและเชื้อจุลินทรีย์



Day 1



Day 35



Day 50

รูปที่ 2.3 การย่อยสลายของผลิตภัณฑ์จาก PLA

ที่มา : <http://mail.vcharkarn.com/varticle/38245>

รูปที่ 2.3 แสดงการย่อยสลายของผลิตภัณฑ์จาก PLA เมื่อนำไปฝังดิน พบว่าผลิตภัณฑ์จาก PLA สามารถย่อยสลายทางชีวภาพได้ภายในระยะเวลาอันสั้น

สาร PLA ที่เป็นส่วนประกอบที่สำคัญของวัสดุที่ย่อยสลายได้ทางชีวภาพแนวทางหนึ่งที่ได้พัฒนาจนประสบความสำเร็จและได้สาร PLA ในปริมาณที่เหมาะสมแก่การลงทุน คือ การใช้ประโยชน์จากวัสดุเหลือใช้จากข้าวโพดโดยการแยกส่วนของแป้งและน้ำตาลที่หลงเหลือในเศษข้าวโพด น้ำตาลที่สกัดได้จะนำไปเข้ากระบวนการหมักจนกระทั่งได้ผลผลิต คือ กรดแลคติก แล้วจึงนำไปเข้ากระบวนการอื่นๆ ต่อไป ความปลอดภัยของสาร PLA ถูกจัดให้เป็น GRAS (Generally Recognized As Safe) โดยสำนักงานอาหารและยาของสหรัฐอเมริกา

ตารางที่ 2.1 Properties Of PLA

	Physical			Mechanical			Cost (บาท/kg)
	Tg (°C)	Tm (°C)	% Crystallinity	Tensile stress (MPa)	%Elongation at break	Modulus (GPa)	
PP	-10	175	70	130-300	>50	2.2-4.2	~50
PET	80	245	38	275	60-165	2.8-4.1	~50
PS (Atactic)	100	-	-	55-82	3-40	3.2	~50
PLA	71.4	163.4	40	72	11	2.11	~120

ที่มา : สุวนัญ จิรชาญ (ผู้บรรยาย). (21 กันยายน 2549). ทิศทางและแนวโน้มในอนาคต  
ด้านพลาสติกชีวภาพไทย.อาคารสยามพารากอน: สำนักงานนวัตกรรมแห่งชาติ.

## 2.6 พืชเส้นใย

พืชเส้นใย (Fiber Plants) หมายถึง พืชที่มีเซลล์ที่เรียกว่า Fiber จำนวนมาก พอที่จะนำไปใช้ประโยชน์ได้ โดยไม่คำนึงว่าเส้นใยจะเกิดจากส่วนใดของพืช พืชแต่ละชนิดมีเส้นใยในส่วนต่างๆ ต่างกัน และมีปริมาณไม่เท่ากัน เช่น ชบา มีเส้นใยมากที่ลำต้นและกิ่ง ส่วนสับปะรดมีเส้นใยมากที่ใบ

พืชเส้นใยในโลกรู้จักกันจำนวนมากประมาณมากกว่า 2,000 ชนิด ที่นำมาใช้ และประมาณ 750 ชนิด พบเฉพาะที่ประเทศฟิลิปปินส์ ส่วนมากมีการปลูกพืชเส้นใยในเขตร้อน พื้นที่ให้เส้นใยมาก ได้แก่ วงศ์ Bombacaceae, Leguminosae, Linaceae, Moraceae, Tiliaceae, Urticaceae, Agavaceae, Bromeliaceae, Gramineae, Palmae และ Musaceae

ลักษณะของเซลล์ไฟเบอร์ เป็นเซลล์ยาว หัวแหลมท้ายแหลม มีผนังหนา เนื่องจากมีลิกนิน (Lignin) และเซลลูโลส มาพอกภายในเซลล์มีรู (Lumen) ขนาดเล็ก เซลล์ไฟเบอร์อาจจะอยู่เป็นเซลล์เดี่ยว หรือเป็นกลุ่มส่วนใหญ่อุบัติประสานกันเป็นแผ่น

ลักษณะของเซลล์ไฟเบอร์ เป็นเซลล์ยาว หัวแหลมท้ายแหลม มีผนังหนา เนื่องจากมีลิกนิน (Lignin) และเซลลูโลส มาพอกภายในเซลล์มีรู (Lumen) ขนาดเล็ก เซลล์ไฟเบอร์อาจจะอยู่เป็นเซลล์เดี่ยว หรือเป็นกลุ่มส่วนใหญ่เกิดประสานกันเป็นแผ่น

การจำแนกประเภทไฟเบอร์ นิยมจำแนกเป็น 2 ประเภท

1) การจำแนกประเภทไฟเบอร์โดยอาศัยตำแหน่งที่เกิด (Classification Based On Their Origin)

2) การจำแนกประเภทไฟเบอร์ในทางการค้า โดยดูจากประโยชน์ที่ใช้เป็นหลัก (Classification Based On Their Utilization)

## 2.7 คอมโพสิต

คอมโพสิต เป็นวัสดุที่ประกอบด้วยการรวมวัสดุมากกว่า 2 ประเภทเข้าด้วยกัน โดยทั่วไปคอมโพสิตจะมีวัสดุที่เป็นเนื้อหลัก (Matrix) และวัสดุเสริมแรง (Reinforcement Materials) ที่กระจายตัวอยู่ในเนื้อหลักนั้น วัสดุที่เป็นเนื้อหลักจะรองรับวัสดุเสริมแรงให้อยู่ในรูปร่างที่กำหนด ขณะที่วัสดุเสริมแรงจะช่วยเพิ่มหรือปรับปรุงสมบัติเชิงกลของวัสดุเนื้อหลักให้สูงขึ้น ซึ่งวัสดุเสริมแรงอาจมีลักษณะเป็นเส้น ก้อน อนุภาค หรือเกล็ดก็ได้ แทรกอยู่ในวัสดุเนื้อหลัก (Base Materials) อย่างโลหะ เซรามิกส์ หรือพอลิเมอร์ ผลของการรวมวัสดุต่างกัน 2 ประเภทเข้าด้วยกันทำให้คอมโพสิตมีความแข็งแรงโดยรวมมากกว่าเมื่อเทียบกับความแข็งแรงของวัสดุแต่ละประเภทโดยลำพัง ปัจจุบันวัสดุคอมโพสิตแบ่งออกเป็น 3 ประเภท คือ

### 2.7.1 วัสดุคอมโพสิต

2.7.1.1 พอลิเมอร์คอมโพสิต (Polymer Matrix Composites - PMC's) ตัวอย่างผลิตภัณฑ์ที่พบเห็นได้ง่ายของคอมโพสิตกลุ่มนี้ คือผลิตภัณฑ์ที่ทำจาก ไฟเบอร์กลาส ต่าง ๆ พอลิเมอร์คอมโพสิตมีพอลิเมอร์ซึ่งอาจจะเป็พลาสติก หรือยางเป็นเนื้อหลัก และใช้วัสดุเสริมแรงได้หลายชนิด เช่น เส้นใยแก้ว เส้นใยคาร์บอน เส้นลวดโลหะ เป็นต้น

2.7.1.2 เซรามิกคอมโพสิต (Ceramic Matrix Composites - CMC's) เรารู้จักและคุ้นเคยกับคอมโพสิตกลุ่มนี้ดี คอนกรีตและคอนกรีตเสริมเหล็ก (ปูน กรวด ทราย เหล็กเส้น) เป็นตัวแทนที่พบเห็นได้ทั่วไปของวัสดุกลุ่มนี้ ขณะที่วัสดุเซรามิกคอมโพสิตรุ่นหน้า (Advanced Composite) มีเนื้อหลักเป็นเซรามิก และใช้วัสดุเสริมแรงเป็นเส้นใย คอมโพสิตกลุ่มนี้มักนำมาใช้งานในสภาวะแวดล้อมที่มีอุณหภูมิสูง เช่น กังหันใบพัดของเครื่องบินไอพ่น เป็นต้น

2.7.1.3 เมทัลคอมโพสิต (Metal Matrix Composites - MMC's) คอมโพสิตกลุ่มนี้พบมากในผลิตภัณฑ์กลุ่มอุตสาหกรรมยานยนต์ เมทัลคอมโพสิตมีโลหะเป็นเนื้อหลัก เช่น อะลูมิเนียม เป็นต้น สำหรับวัสดุเสริมแรงของคอมโพสิตกลุ่มนี้เป็นวัสดุเซรามิกส์ เช่น กลุ่มคาร์ไบด์ กลุ่มไนไตรด์ เป็นต้น

พอลิเมอร์บางชนิด เช่น อีพ็อกซีและพอลิเอสเทอร์ มักมีข้อจำกัดในการใช้งาน เนื่องจากพอลิเมอร์เหล่านี้มีความแข็งแรงเชิงกลต่ำเมื่อเทียบกับวัสดุอื่น เช่น โลหะ เป็นต้น แต่พอลิเมอร์มีจุดเด่นเรื่องขึ้นรูปง่าย สามารถขึ้นรูปทรงที่มีรายละเอียดซับซ้อนได้ง่าย และมีน้ำหนักเบา (ความหนาแน่นต่ำ) ขณะที่วัสดุเช่น แก้ว อะรามิด (Aramide) และ โบรอน (Boron) มีจุดเด่นเรื่องความแข็งแรงต่อแรงดึง (Tensile Strength) และความแข็งแรงต่อแรงกด (Compressive Strength) สูง แต่ที่วัสดุที่กล่าวมานั้นเมื่อปรากฏในรูปของ ของแข็ง แล้วสมบัติเด่นเหล่านี้ปรากฏออกมาได้ไม่ชัดเจนเนื่องจากวัสดุสามารถแตกหักจากความเค้น (Stress) ได้ง่ายเพียงแค่ผิวของวัสดุมีรอยตำหนิ ขนาดเล็กเท่านั้น

ดังนั้นการผสมพอลิเมอร์กับเส้นใยเสริมแรง เช่น เส้นใยแก้ว เส้นใยคาร์บอนจะทำให้วัสดุมีสมบัติดีขึ้น เพราะเป็นการรวมเอาจุดเด่นของวัสดุพอลิเมอร์กับจุดเด่นของเส้นใยเสริมแรงเข้าไว้ด้วยกัน โดยเนื้อหลักของพอลิเมอร์ทำหน้าที่กระจายแรงที่กระทำต่อวัสดุลงไประหว่างเส้นใยแต่ละเส้น และพอลิเมอร์ยังทำหน้าที่ปกป้องเส้นใยไม่ให้เสียหายเนื่องจากการเสียดสีและการกระแทก ผลของการรวมพอลิเมอร์กับเส้นใยเสริมแรงทำให้วัสดุพอลิเมอร์คอมโพสิตมีจุดเด่นหลายอย่าง ได้แก่ มีค่าความแข็งแรงและความแข็งดิ่ง (Stiffness) สูง สามารถขึ้นรูปง่าย น้ำหนักเบา และทนทานต่อสภาพแวดล้อมต่าง ๆ

## 2.7.2 ปัจจัยที่มีผลต่อสมบัติของวัสดุคอมโพสิต

### 2.7.2.1 สมบัติของเส้นใยเสริมแรง

### 2.7.2.2 สมบัติของพอลิเมอร์ (เรซิน)

2.7.2.3 สัดส่วนของเส้นใยเสริมแรง (Fiber Volume Fraction – FVF) เนื่องจากวัสดุที่เป็นเส้นใยเสริมแรงมักมีสมบัติเชิงกลสูงกว่าพอลิเมอร์ ดังนั้นหากคอมโพสิตมีเส้นใยเสริมแรงมากขึ้นจะทำให้วัสดุมีสมบัติเชิงกลสูงขึ้น แต่การผสมเส้นใยเสริมแรงกับพอลิเมอร์ก็มีข้อจำกัดเนื่องจากเส้นใยเสริมแรงควรมีเนื้อพอลิเมอร์ห่อหุ้มอยู่โดยรอบ โดยทั่วไปการขึ้นรูปผลิตภัณฑ์คอมโพสิต เช่น เรือไฟเบอร์กลาสจะนิยมขึ้นรูปด้วยวิธีที่เรียกว่า แฮนด์เลย์อัป (Hand Lay-Up) ซึ่งจะมีสัดส่วนของเส้นใยเสริมแรงประมาณ 30 - 40% แตกต่างจากชิ้นงานคอมโพสิตที่ใช้ในอุตสาหกรรมการบินและอวกาศที่ผลิตด้วยเทคโนโลยีขั้นสูงจะมีสัดส่วนของเส้นใยประมาณ 70%

2.7.2.4 การจัดเรียงตัว (Orientation) ของเส้นใยในคอมโพสิต เนื่องจากเส้นใยเสริมแรงให้ค่าสมบัติเชิงกลตามแนวยาวสูงกว่าแนวขวาง ดังนั้นหากเส้นใยในคอมโพสิตมีการจัดเรียงตัวไปในทิศทางเดียวกันแล้ว สมบัติเชิงกลของคอมโพสิตที่แสดงออกมามีค่าแตกต่างกันตามแนวแรงที่กระทำ ดังนั้นสิ่งสำคัญอย่างหนึ่งที่ต้องพิจารณาคั้งแต่การออกแบบ คือ ขนาดและลักษณะแรงที่กระทำต่อชิ้นงาน

## 2.8 การวิเคราะห์ความแปรปรวน (Analysis Of Variance: ANOVA)

การวิเคราะห์ความแปรปรวน เป็นการพิสูจน์หาความแตกต่างของค่าเฉลี่ย (Mean) โดยใช้ค่าความแปรปรวน (Variance) ซึ่งจะทำการวิเคราะห์หาความแตกต่างของค่ากลางระหว่างประชากร โดยการวิเคราะห์ผ่านค่าความแปรปรวน

### ข้อเด่นของ ANOVA

1. สามารถวิเคราะห์ความแตกต่างของประชากรได้พร้อมกันมากกว่า 2 ประชากร ซึ่งถ้าเราใช้ T-Test จะทำได้มากที่สุดแค่ 2 ประชากรเท่านั้น

2. สามารถวิเคราะห์ได้มากกว่า 1 ปัจจัย (Factor) ซึ่ง T-Test จะทำได้เพียงปัจจัยเดียวเท่านั้น เช่น ความเร็วรอบของชิ้นงาน (Speed) ระยะของรอยตัด (Depth Of Cut) และอัตราป้อน (Feed Rate)

3. สามารถใช้วิเคราะห์เพื่อให้เห็นผลกระทบซึ่งกันและกันของปัจจัยต่างๆ (Interaction) ได้ด้วย

### ข้อกำหนดของ ANOVA

1. ข้อมูลของทุก ๆ ประชากร จะต้องมีกระจายของข้อมูลแบบปกติ (Normal Distribution) เท่านั้น

2. ค่าความผันแปร (Variation) ของข้อมูลแต่ละประชากรจะต้องไม่แตกต่างกันอย่างมีนัยสำคัญเท่านั้น

ดังนั้นก่อนทำการวิเคราะห์ข้อมูลโดยใช้ ANOVA จำเป็นต้องทำการทดสอบความเป็นการกระจายแบบปกติของข้อมูล (Normality Test) ว่าข้อมูลทุกประชากรมีการกระจายแบบปกติ และทดสอบความความแตกต่างของค่าความผันแปร (Homogeneities Of Variance Test) เพื่อให้แน่ใจว่าไม่มีความแตกต่างกันทุกประชากร

Factor หมายถึง ตัวแปรที่เราต้องการทราบว่าผลกระทบต่องานที่เราสนใจหรือไม่ ซึ่งบางครั้งก็ใช้คำว่า Treatment ซึ่งหมายถึงลักษณะการควบคุมตัวแปรในการทดลอง แทนคำว่า Factor และบางครั้งก็ใช้คำว่า Way แทนด้วยเหมือนกัน

Response คือ ตัวชี้วัดผลการทดลอง โดยส่วนมากเราจะใช้เพียง 1 Response

Level หมายถึง ประชากรแต่ละประชากรที่เรากำลังทำการศึกษผลกระทบของปัจจัย ซึ่งบางครั้งก็ใช้คำว่า Treatment Level แทน

### การตั้งสมมติฐาน

การตั้งสมมติฐานของกำหนดของ ANOVA เป็นดังนี้

$H_0$  : ค่ากลางของประชากร (กระบวนการ) ไม่แตกต่างกัน

$H_a$  : อย่างน้อย 2 ประชากร (กระบวนการ) มีความแตกต่างกัน

หรือสามารถเขียนสมมติฐานได้ดังนี้

$H_0 : \mu_1 = \mu_2 = \mu_3 = \dots = \mu_k$

$H_a : \mu_1 \neq \mu_2 \neq \mu_3 \neq \dots \neq \mu_k$

หลักการของ ANOVA คือเปรียบเทียบ Variation ที่เกิดจากการเอาค่ากลางทุกประชากร มาเป็นกลุ่มเดียวกัน (Between Samples Variation) กับ Variation ที่เกิดขึ้นในแต่ละกลุ่มตัวอย่าง (Within Samples Variation) ดังสมการต่อไปนี้

$$\text{Test statistic} = \frac{\text{Between samples variation}}{\text{Within samples variation}} \quad (2.1)$$

#### 2.8.1 การวิเคราะห์ความแปรปรวนแบบมีปัจจัยสองทาง (Two-way ANOVA)

การวิเคราะห์ความแปรปรวนสองทาง หรือ Two-way ANOVA เป็นวิธีการทดสอบเพื่อวิเคราะห์ความสัมพันธ์ระหว่างตัวแปรอิสระหรือตัวแปรต้นที่เป็นสิ่งทดลองจำนวน 2 ตัวกับตัวแปรตามเพียงตัวเดียว โดยที่ตัวแปรอิสระหรือตัวแปรต้นอาจมีลักษณะเชิงคุณภาพที่จำแนกออกเป็นระดับหรือประเภทต่างๆ ส่วนตัวแปรตามมีลักษณะเชิงปริมาณ เพื่อศึกษาความสัมพันธ์ของตัวแปรอิสระหรือตัวแปรต้นว่าจะส่งผลอย่างไรกับตัวแปรตาม ตามสมมติฐานการวิจัยที่กำหนดไว้โดยที่การวิเคราะห์ความแปรปรวนสองทาง นอกจากจะสามารถศึกษาผลของตัวแปรทั้งสองตัวไปพร้อมๆ กันแล้ว ยังสามารถศึกษาผลร่วม (Interaction) ระหว่างตัวแปรทั้งสองตัวได้ว่า ตัวแปรอิสระหรือตัวแปรต้นตัวหนึ่งนอกจากจะส่งผลต่อตัวแปรตามแล้วยังส่งผลใดๆ ต่อตัวแปรอิสระหรือตัวแปรต้นอีกตัวหนึ่งหรือไม่

ใน ANOVA นั้นเราจะกล่าวถึง ค่า Sum Square (SS) หรือ Variation นั้นเอง ถ้ามี 2 Factor ลักษณะการอธิบาย Variation คือ

$$SS_T = \sum_{i=1}^a \sum_{j=1}^b \sum_{k=1}^n y_{ijk}^2 - \frac{y_{...}^2}{abn} \quad (2.2)$$

$$SS_A = \sum_{i=1}^a \frac{y_{i..}^2}{bn} - \frac{y_{...}^2}{abn} \quad (2.3)$$

$$SS_B = \sum_{j=1}^b \frac{y_{.j.}^2}{an} - \frac{y_{...}^2}{abn} \quad (2.4)$$

$$SS_{AB} = \sum_{i=1}^a \sum_{j=1}^b \frac{y_{ij.}^2}{n} - \frac{y_{...}^2}{abn} - SS_A - SS_B \quad (2.5)$$

$$SS_E = SS_T - SS_{AB} - SS_A - SS_B \quad (2.6)$$

หาค่า Mean of Square ได้จาก

$$MS_A = \frac{SS_A}{a-1} \quad (2.7)$$

$$MS_B = \frac{SS_B}{b-1} \quad (2.8)$$

$$MS_{AB} = \frac{SS_{AB}}{(a-1)(b-1)} \quad (2.9)$$

$$MS_E = \frac{SS_E}{ab(n-1)} \quad (2.10)$$

เมื่อ T : Total  
 A : Factor A  
 B : Factor B  
 AB : Interaction of Factor A and B  
 E : Error  
 a : Number of levels of factor A  
 b : Number of levels of factor B  
 n : Number of replication per cell ( หมายความว่า การเก็บข้อมูลมีการทำซ้ำ หรือ Repeat กี่ครั้ง )

และสามารถเขียนตารางวิเคราะห์ความแปรปรวน (ANOVA) ของการทดลองแบบแฟกทอเรียลกรณี 2 ตัวแปร ได้ดังนี้

ตารางที่ 2.2 ตารางวิเคราะห์ความแปรปรวน (ANOVA)

Source of Variation	SS	Degree of Freedom	MS	$F_0$
A	$SS_A$	a-1	$\frac{SS_A}{a-1}$	$f_0 = \frac{MS_A}{MS_E}$
B	$SS_B$	b-1	$\frac{SS_B}{b-1}$	$f_0 = \frac{MS_B}{MS_E}$
AB-Interaction	$SS_{AB}$	(a-1)(b-1)	$\frac{SS_{AB}}{(a-1)(b-1)}$	$f_0 = \frac{MS_{AB}}{MS_E}$
Error	$SS_E$	ab(n-1)	$\frac{SS_E}{ab(n-1)}$	
Total	$SS_T$	abn-1		

ที่มา : พงศ์ชนัน เหลืองไพบุลย์, การออกแบบการทดลอง, 2546

## บทที่ 3 วิธีดำเนินโครงการงาน

งานวิจัยนี้เป็นการศึกษาสมบัติของพอลิเมอร์คอมโพสิตที่ได้จากพลาสติกชีวภาพร่วมกับเส้นใยพืช เมื่อมีการเปลี่ยนแปลงอัตราส่วนของเส้นใยจากกาบหมากแดง กาบกล้วยน้ำว้า ชานอ้อย พันธุ์สุพรรณ 50 และบวบเหลี่ยม เมื่อเปรียบเทียบกับพลาสติกชีวภาพ PLA บริสุทธิ์ ซึ่งมีวัสดุอุปกรณ์ที่ใช้ในการทดลองมีดังต่อไปนี้

### 3.1 การแยกเส้นใยจากพืช

#### 3.1.1 วัสดุและสารเคมี

- กาบหมากแดง กาบกล้วยน้ำว้า ชานอ้อยพันธุ์สุพรรณ 50 และบวบเหลี่ยม
- น้ำสะอาด

#### 3.1.2 อุปกรณ์และเครื่องมือ

- ถังมีฝาปิด
- ถุงมือ
- กรรไกร
- เตารีดไฟฟ้า
- ถุงป้องกันความชื้น

#### 3.1.3 วิธีแยกเส้นใย

3.1.3.1 แช่กาบหมากแดง กาบกล้วยน้ำว้า ชานอ้อยพันธุ์สุพรรณ 50 และบวบเหลี่ยมในถังที่มีฝาปิดด้วยน้ำสะอาด

3.1.3.2 แยกเส้นใยออกจากกาบหมากแดง กาบกล้วยน้ำว้า ชานอ้อยพันธุ์สุพรรณ 50 และบวบเหลี่ยม

3.1.3.3 จากการทดลองเบื้องต้น สามารถแยกเส้นใยจาก

กาบหมากแดง	ที่ระยะเวลา 3 สัปดาห์
กาบกล้วยน้ำว้า	ที่ระยะเวลา 2 สัปดาห์
บวบเหลี่ยม	ที่ระยะเวลา 1 สัปดาห์
ชานอ้อยพันธุ์สุพรรณ 50	ที่ระยะเวลา 4 สัปดาห์

3.1.3.4 นำเส้นใยที่ได้ไปตากให้แห้ง และอบด้วยอุณหภูมิ 80 องศาเซลเซียส เป็นเวลา

3 ชั่วโมง

### 3.1.3.5 เก็บเส้นใยไว้ในถุงป้องกันความชื้นก่อนนำมาอัดขึ้นรูปร่วมกับพลาสติก

ชีวภาพ PLA

## 3.2 การเตรียมชิ้นงานทดสอบ

### 3.2.1 วัสดุและสารเคมี

- เส้นใยที่ได้จากกากหมากแดง กากกล้วยน้ำว้า ชานอ้อยพันธุ์สุพรรณ 50 และบวบเหลี่ยม
- พลาสติกชีวภาพ PLA

### 3.2.2 อุปกรณ์และเครื่องมือ

- เครื่องอัดขึ้นรูปพลาสติก (Compression Molding)
- แม่พิมพ์ชิ้นงานหนา 1 มิลลิเมตร, 2 มิลลิเมตร และ 4 มิลลิเมตร
- แผ่นพลาสติกใสชนิดสำหรับถ่ายเอกสาร
- ถุงมือกันความร้อน
- เครื่องชั่ง
- นาฬิกาจับเวลา

### 3.2.3 วิธีเตรียมชิ้นงานทดสอบ

#### 3.2.3.1 ทำการขึ้นรูปพลาสติกชีวภาพ PLA บริสุทธิ์ ที่มีความหนา 1 มิลลิเมตร และ 2

มิลลิเมตร

ที่	อุณหภูมิ	190	องศาเซลเซียส
	แรงม้า	75	แรงม้า
	ระยะเคลื่อนที่	300	เมตร/นาที
	ความจุความร้อน	78	kw.
	แรงดันสูงสุด	60	ตัน
	แรงดันต่อหน่วย	210	kg/cm

3.2.3.2 ทำการขึ้นรูปชิ้นงานทดสอบที่ทำจากพอลิเมอร์คอมโพสิตระหว่างพลาสติกชีวภาพ PLA และเส้นใยจากกากหมากแดง กากกล้วยน้ำว้า ชานอ้อยพันธุ์สุพรรณ 50 และบวบเหลี่ยม ในอัตราส่วน 0.25 %wt, 0.50 %wt, 1 %wt และ 2 %wt ที่ความหนา 2 มิลลิเมตร

- 1) ชั่งเส้นใยจากพืชทั้ง 4 ชนิด ให้ได้ปริมาณ 0.14 กรัม (0.25%wt), 0.28 กรัม (0.5%wt), 0.54 กรัม (1%wt) และ 1.08 กรัม (2%wt)
- 2) อุณหภูมิขนาดความหนา 2 มิลลิเมตร ให้ร้อน
- 3) นำแผ่นพลาสติกชีวภาพ PLA หนา 1 มิลลิเมตร จำนวน 2 แผ่น และเส้นใยพืชแต่ละชนิด มาประกบกัน โดยให้เส้นใยอยู่ตรงกลางระหว่างแผ่นพลาสติกชีวภาพ แล้วทำการอัดขึ้นรูป

3.2.3.3 ทำการขึ้นรูปชิ้นงานทดสอบที่ทำจากพอลิเมอร์คอมโพสิตระหว่างพลาสติกชีวภาพ PLA และเส้นใยจากถั่วหมากแดง กาบกล้วยน้ำว้า ชานอ้อยพันธุ์สุพรรณ 50 และบวบเหลี่ยม ในอัตราส่วน 0.25 %wt, 0.50 %wt, 1 %wt และ 2 %wt ที่ความหนา 4 มิลลิเมตร

- 1) ชั่งเส้นใยจากพืชทั้ง 4 ชนิด ให้ได้ปริมาณ 0.28 กรัม (0.25%wt), 0.54 กรัม (0.5%wt), 1.08 กรัม (1%wt) และ 2.16 กรัม (2%wt)
- 2) อุ้มน้ำพืชมัดขนาดความหนา 4 มิลลิเมตร ให้ร้อน
- 3) นำแผ่นพลาสติกชีวภาพ PLA หนา 2 มิลลิเมตร จำนวน 2 แผ่น และเส้นใยพืชแต่ละชนิด มาประกบกันโดยให้เส้นใยอยู่ตรงกลางระหว่างแผ่นพลาสติกชีวภาพ แล้วทำการอัดขึ้นรูป

### 3.3 ทดสอบคุณสมบัติของชิ้นงานทดสอบที่ทำจากพอลิเมอร์คอมโพสิตระหว่างพลาสติกชีวภาพ PLA และเส้นใยจากถั่วหมากแดง กาบกล้วยน้ำว้า ชานอ้อยพันธุ์สุพรรณ 50 และบวบเหลี่ยมเมื่อเปรียบเทียบกับพลาสติกชีวภาพ PLA บริสุทธิ์

#### 3.3.1 คุณสมบัติการรับแรงดึง

คุณสมบัติการรับแรงดึงของพอลิเมอร์คอมโพสิต ทดสอบโดยใช้เครื่องทดสอบการดึง (Tensile Testing Machine, Lloyd Instruments Type LR 10 K PLUS) ตามมาตรฐาน ASTM D 638 โดยใช้อัตราการดึงลงที่ 5 มิลลิเมตรต่อนาที จำนวนตัวอย่างที่ใช้ในการทดสอบชนิดละ 6 ตัวอย่าง รวมจำนวนทั้งหมด 102 ชิ้น จะได้ค่าการรับแรงดึง และนำค่าที่ได้จากแต่ละตัวอย่างไปคิดค่าเฉลี่ยและค่าเบี่ยงเบนมาตรฐาน

##### 3.3.1.1 อุปกรณ์ที่ใช้ในการทดสอบคุณสมบัติการรับแรงดึง

- 1) แปรงทำความสะอาดหัวจับ
- 2) หัวจับมือหมุน
- 3) เวอร์เนีย
- 4) สกรูที่ใช้ขันหัวจับLoad

5) เครื่องทดสอบคุณสมบัติการรับแรงดึง (Tensile Testing Machine, Lloyd Instruments Type LR 10 K PLUS)



รูปที่ 3.1 รูปเครื่องทดสอบคุณสมบัติการรับแรงดึง

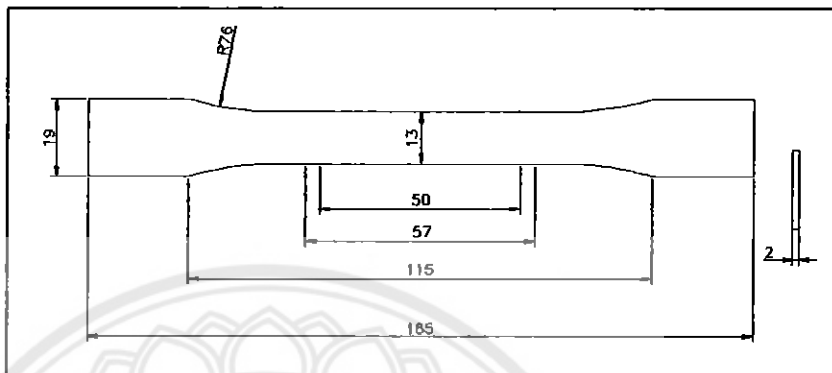
6) ชิ้นงานที่ตัดเป็นรูปคัมเบล



รูปที่ 3.2 รูปชิ้นงานรูปคัมเบล

3.3.1.2 วิธีการทดสอบคุณสมบัติการรับแรงดึง

1) ตัดชิ้นงานหนา 2 มิลลิเมตร เป็นรูปทรงคัมเบล โดยให้มีขนาดตามมาตรฐาน ASTM D 638 type I (ขนาดหน่วยเป็นมิลลิเมตร)

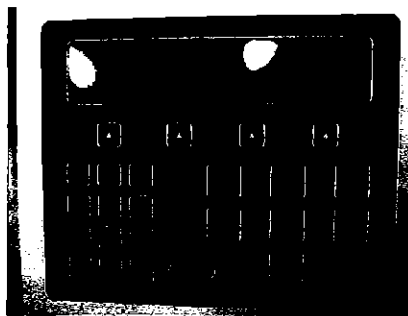


รูปที่ 3.3 แบบชิ้นงานทดสอบคุณสมบัติการรับแรงดึง

2) ตั้งค่าต่างๆ ภายในเครื่อง โดยกรอกข้อมูลดังนี้

Preload/stress	0.0056	kN
Preload/stress Speed	21	mm./min
Speed	5	mm./min
Gauge Length	50	mm.
Limit	100	mm.

3) นำ load มาติดตั้ง โดยเลือก load ที่เราต้องการและขันหัวจับ load โดยใช้ สกรูขันหัวจับ load ให้แน่น ปรับหัวจับให้ได้ระยะที่ต้องการ โดยใช้หน้าจอดีการตั้งค่าในการสั่งงาน



รูปที่ 3.4 รูปหน้าจอคำสั่ง

4) นำชิ้นงานมาใส่เครื่อง โดยใช้หน้าจอกำสั่งในการปรับระยะ เมื่อได้ระยะแล้วให้ใช้หัวจับมือหมุนๆ ให้แน่น



รูปที่ 3.5 รูปการนำชิ้นงานใส่เครื่องทดสอบคุณสมบัติการรับแรงดึง

5) เริ่มการทดสอบคุณสมบัติการรับแรงดึง และบันทึกผลการทดลองลงในตารางบันทึกผลคุณสมบัติการรับแรงดึง

ตารางที่ 3.1 ตารางบันทึกผลคุณสมบัติการรับแรงดึง

ชนิด	ปริมาณวัสดุ เสริมแรง (%wt)	Tensile Strength (MPa)						เฉลี่ย (MPa)
		ชั้นที่ 1	ชั้นที่ 2	ชั้นที่ 3	ชั้นที่ 4	ชั้นที่ 5	ชั้นที่ 6	
Pure PLA								
หมาก	0.25%							
	0.5%							
	1%							
	2%							
กล้วย	0.25%							
	0.5%							
	1%							
	2%							
อ้อย	0.25%							
	0.5%							
	1%							
	2%							
บวบ	0.25%							
	0.5%							
	1%							
	2%							

### 3.3.2 การทดสอบคุณสมบัติความต้านทานต่อแรงกระแทก

คุณสมบัติความต้านทานต่อแรงกระแทกของชิ้นทดสอบ (Impact Strength) ตรวจสอบโดยใช้เครื่องมือทดสอบคุณสมบัติความต้านทานต่อแรงกระแทก (Impact Tester, Model XC-227Z) ตามมาตรฐาน ASTM D 256 โดยใช้ก้อนตึกขนาด 2.75 จูลล์ จำนวนตัวอย่างที่ใช้ในการทดสอบชนิดละ 12 ตัวอย่าง รวมจำนวนทั้งหมด 204 ชิ้น

คุณสมบัติความต้านทานต่อแรงกระแทก ( $J/mm^2$ ) คำนวณจากค่าพลังงานที่ตัวอย่างถูกกลืนหารด้วยพื้นที่หน้าตัดของตัวอย่าง

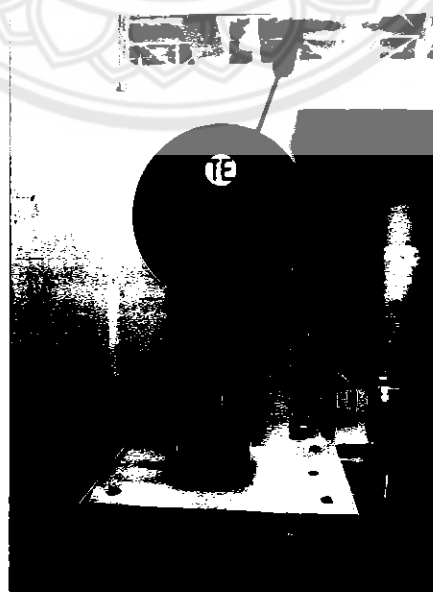
#### 3.3.2.1 อุปกรณ์ที่ใช้ในการทดสอบคุณสมบัติความต้านทานต่อแรงกระแทก

##### 1) ก้อนตึกขนาด 2.75 จูลล์



รูปที่ 3.6 รูปก้อนตึกขนาด 2.75 จูลล์

##### 2) เครื่องทดสอบคุณสมบัติความต้านทานต่อแรงกระแทก



รูปที่ 3.7 รูปเครื่องทดสอบคุณสมบัติความต้านทานต่อแรงกระแทก

5070272

3) ชิ้นงานทดสอบรูปทรงสี่เหลี่ยมผืนผ้ามีรอยบาก

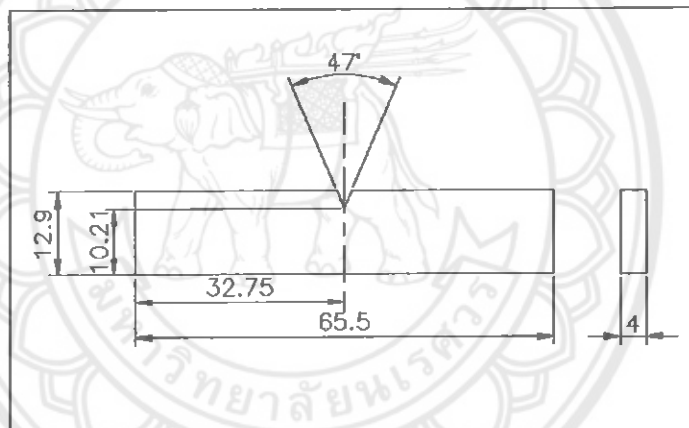
ป.ส.  
9628๘  
๒๕๕๒  
e.2



รูปที่ 3.8 รูปชิ้นงานทดสอบรูปทรงสี่เหลี่ยมผืนผ้ามีรอยบาก

3.3.2.2 วิธีทดสอบค่าคุณสมบัติความต้านทานต่อแรงกระแทก

1) ตัดชิ้นงานหนา 4 มิลลิเมตร เป็นรูปสี่เหลี่ยมผืนผ้า ให้มีขนาดตามมาตรฐาน ASTM D 256 (ขนาดหน่วย เป็น มิลลิเมตร)



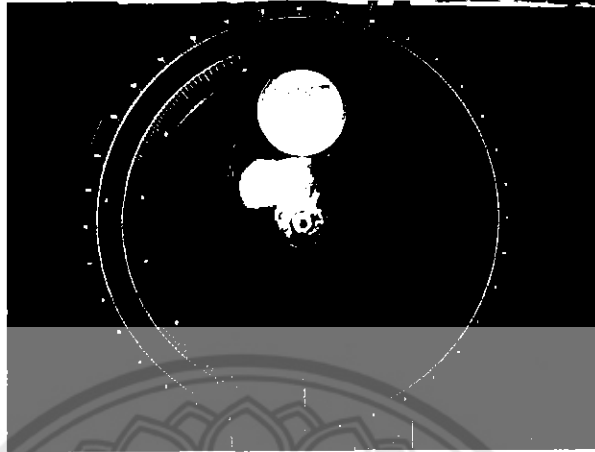
รูปที่ 3.9 แบบชิ้นงานทดสอบรูปทรงสี่เหลี่ยมผืนผ้ามีรอยบาก

2) นำชิ้นงานใส่เครื่อง โดยหมุนมือจับถือชิ้นงานไว้กับเครื่อง



รูปที่ 3.10 รูปการนำชิ้นงานใส่เครื่องทดสอบคุณสมบัติความต้านทานต่อแรงกระแทก

3) ใช้มือหมุนสเกลให้มาอยู่ที่ตำแหน่ง 0



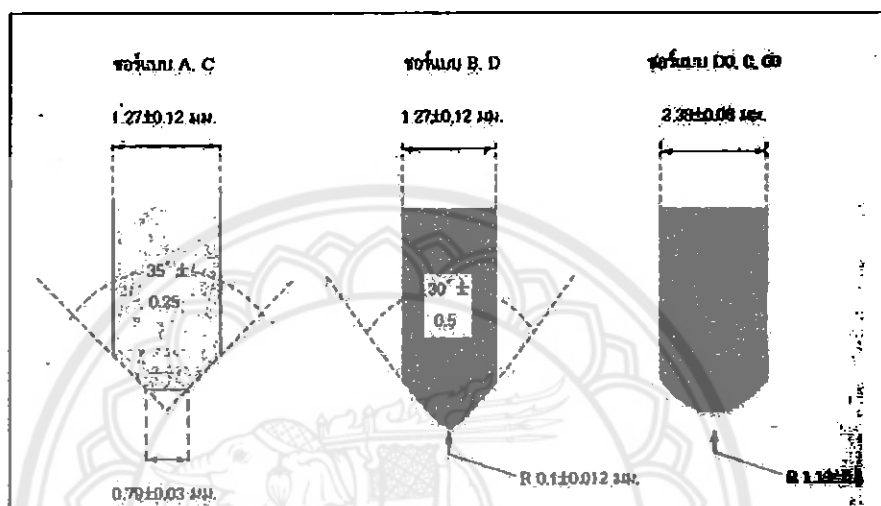
รูปที่ 3.11 สเกลเครื่องทดสอบคุณสมบัติความต้านทานต่อแรงกระแทก

4) เริ่มการทดสอบคุณสมบัติความต้านทานต่อแรงกระแทก และบันทึกผลลงในตารางบันทึกผลคุณสมบัติความต้านทานต่อแรงกระแทก



### 3.3.3 การทดสอบคุณสมบัติความแข็ง

คุณสมบัติความแข็งของชิ้นงานทดสอบ (Hardness) โดยใช้เครื่องมือทดสอบหาค่าความแข็งแบบชอร์ ดี (Shore D Hardness) ตามมาตรฐาน ASTM D2240 โดยให้แรงกดผ่านอุปกรณ์ลงไปยังชิ้นงาน 4.53 กิโลกรัม ขนาดหัวทดสอบ กว้าง  $1.27 \pm 12$  มิลลิเมตร รัศมี  $0.1 \pm 0.012$  มิลลิเมตร จำนวนตัวอย่างที่ใช้ในการทดสอบ 17 ชิ้น โดยกดชิ้นละ 5 จุดรวมทั้งหมด 85 จุด



รูปที่ 3.12 รูปหัวทดสอบคุณสมบัติความแข็ง

ที่มา : การทดสอบสมบัติทางกลของพลาสติก โดย ดร.จินตมัย สุวรรณประทีป จัดพิมพ์  
โดย สมาคมส่งเสริมเทคโนโลยี (ส.ส.ท.) 2547

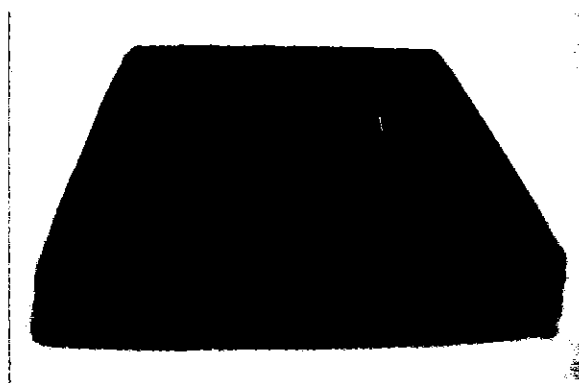
#### 3.3.3.1 อุปกรณ์ที่ใช้ในการทดสอบคุณสมบัติความแข็ง

- 1) เครื่องทดสอบคุณสมบัติความแข็งแบบชอร์ดูโรมิเตอร์
- 2) ชิ้นงานทดสอบรูปทรงสี่เหลี่ยมจัตุรัส

#### 3.3.3.2 วิธีทดสอบคุณสมบัติความแข็ง

- 1) ตัดชิ้นงานหนา 4 มิลลิเมตร เป็นรูปสี่เหลี่ยมจัตุรัส ให้มีขนาดตามมาตรฐาน

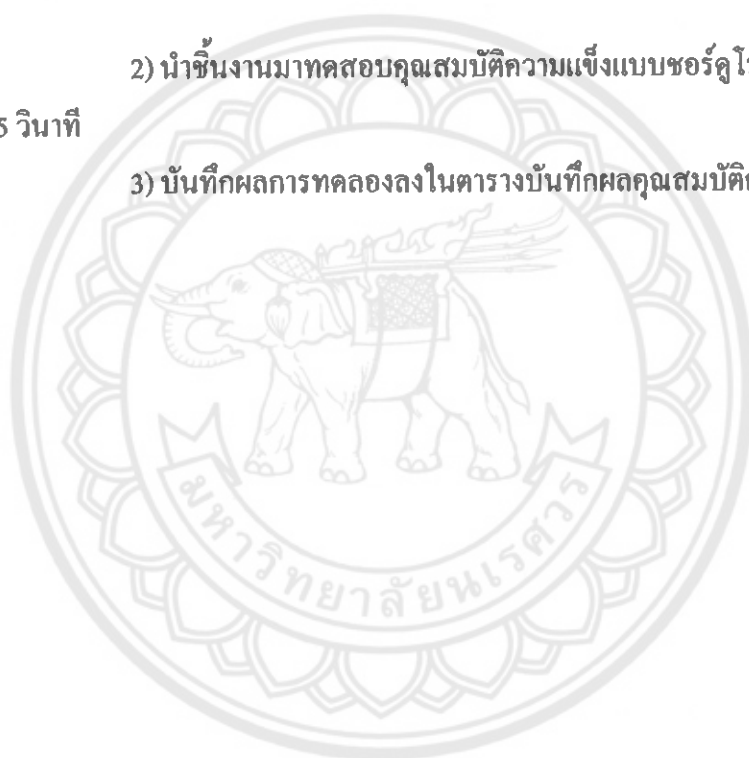
ASTM D2240



รูปที่ 3.13 รูปชิ้นงานทดสอบคุณสมบัติความแข็งแรง

2) นำชิ้นงานมาทดสอบคุณสมบัติความแข็งแรงแบบชอร์ดูโรมิเตอร์ โดยอ่านค่าภายใน 15 วินาที

3) บันทึกผลการทดลองลงในตารางบันทึกผลคุณสมบัติความแข็งแรง



ตารางที่ 3.3 ตารางบันทึกผลคุณสมบัติความแข็ง

ชนิด	ปริมาณวัสดุ เสริมแรง (%wt)	Hardness (Shore)					เฉลี่ย (Shore)
		จุดที่ 1	จุดที่ 2	จุดที่ 3	จุดที่ 4	จุดที่ 5	
Pure PLA							
หมาก	0.25%						
	0.5%						
	1%						
	2%						
กล้วย	0.25%						
	0.5%						
	1%						
	2%						
อ้อย	0.25%						
	0.5%						
	1%						
	2%						
บวบ	0.25%						
	0.5%						
	1%						
	2%						

### 3.3.4 การทดสอบคุณสมบัติการย่อยสลาย

การทดสอบคุณสมบัติการย่อยสลาย ทดสอบโดยใช้มาตรฐาน ASTM D6400 ใช้ชิ้นงานทดสอบชนิดละ 7 ชิ้น รวมทั้งหมด 119 ชิ้น ใช้ระยะเวลาในการทดสอบ 6 สัปดาห์

#### 3.3.4.1 อุปกรณ์ที่ใช้ในการทดสอบคุณสมบัติการย่อยสลาย

- 1) อุปกรณ์วัดความชื้นของดิน
- 2) ไม้บรรทัด
- 3) ถัง
- 4) ชิ้นงานทดสอบรูปทรงสี่เหลี่ยมจัตุรัส

#### 3.3.4.2 วิธีทดสอบคุณสมบัติการย่อยสลาย

- 1) คัดชิ้นงานหนา 2 มิลลิเมตร เป็นรูปสี่เหลี่ยมจัตุรัส ให้มีขนาดตามมาตรฐาน ASTM D6400
- 2) ฝังชิ้นงานทดสอบไว้ในดินจำนวน 6 ชิ้น และอีก 1 ชิ้น ไม่ฝังดินเพื่อเป็นชิ้นงานที่นำมาเปรียบเทียบการเปลี่ยนแปลง
- 3) นำชิ้นงานทดสอบขึ้นมาสังเกตการเปลี่ยนแปลง โดยนำขึ้นมาครั้งละ 1 ชิ้น และบันทึกผลทุกๆ 1 สัปดาห์ จนครบกำหนด 6 สัปดาห์

### 3.3.5 การทดสอบคุณสมบัติการดูดซับน้ำ

การทดสอบคุณสมบัติการดูดซับน้ำ (Water Absorption) ใช้ชิ้นงานทดสอบชนิดละ 5 ชิ้น รวมทั้งหมด 85 ชิ้น ระยะเวลาการทดสอบ 7 วัน โดยการหาค่าเปอร์เซ็นต์การดูดซับน้ำตามมาตรฐาน ASTM D570 คำนวณจาก

$$\text{เปอร์เซ็นต์การดูดซับน้ำ} = \frac{(\text{น้ำหนักตัวอย่างเปียก} - \text{น้ำหนักตัวอย่างเริ่มต้น}) \times 100}{\text{น้ำหนักตัวอย่างเริ่มต้น}} \quad (3.1)$$

#### 3.3.5.1 อุปกรณ์ที่ใช้ในการทดสอบคุณสมบัติการดูดซับน้ำ

- 1) เตาอบไฟฟ้า
- 2) น้ำสะอาด
- 3) นาฬิกาจับเวลา
- 4) เครื่องชั่ง
- 5) ภาชนะแบบปิด
- 6) ชิ้นงานทดสอบรูปสี่เหลี่ยมจัตุรัส

### 3.3.5.2 วิธีทดสอบคุณสมบัติการดูดซับน้ำ

1) ตัดชิ้นงานหนา 2 มิลลิเมตร เป็นรูปสี่เหลี่ยมจัตุรัส ให้มีขนาดตามมาตรฐาน ASTM D570

2) นำชิ้นงานมาอบที่อุณหภูมิ 60 องศาเซลเซียส เป็นเวลา 24 ชั่วโมง แล้วนำชิ้นงานมาชั่งเป็นน้ำหนักตัวอย่างเริ่มต้น

3) นำชิ้นงานมาแช่น้ำในภาชนะปิดที่อุณหภูมิห้อง เป็นเวลา 24 ชั่วโมง จากนั้นนำชิ้นงานหลังจากการดูดซับน้ำมาชั่งเป็นน้ำหนักตัวอย่างเปียก



รูปที่ 3.14 รูปการทดสอบคุณสมบัติการดูดซับน้ำ

4) หาเปอร์เซ็นต์การดูดซับน้ำ

5) บันทึกผลลงในตารางบันทึกผลคุณสมบัติการดูดซับน้ำ

ตารางที่ 3.4 ตารางบันทึกผลคุณสมบัติการดูดซับน้ำ

ชนิด	ปริมาณวัสดุ เสริมแรง (%พท)	น้ำหนัก										เปอร์เซ็นต์การดูดซับน้ำ (%)				
		ก่อนแช่ (กรัม)					หลังแช่ (กรัม)					1	2	3	4	5
		1	2	3	4	5	1	2	3	4	5					
Pure																
หมาก	0.25%															
	0.5%															
	1%															
	2%															
กล้วย	0.25%															
	0.5%															
	1%															
	2%															
ข้าว	0.25%															
	0.5%															
	1%															
	2%															
บวบ	0.25%															
	0.5%															
	1%															
	2%															

### 3.4 วิเคราะห์ความแปรปรวน

วิเคราะห์ผลของชนิดและปริมาณเส้นใย ว่าเป็นปัจจัยที่มีผลต่อคุณสมบัติต่าง ๆ ของชิ้นงานทดสอบที่ทำจากพอลิเมอร์คอม โปสิตระหว่างพลาสติกชีวภาพ PLA และเส้นใยจากกากหมากแดง กากกล้วยน้ำว้า ชานอ้อยพันธุ์สุพรรณ 50 และบวบเหลี่ยม

### 3.5 สรุปผลการทดสอบ

สรุปผลที่ได้ทั้งหมดจากการทดสอบ



## บทที่ 4

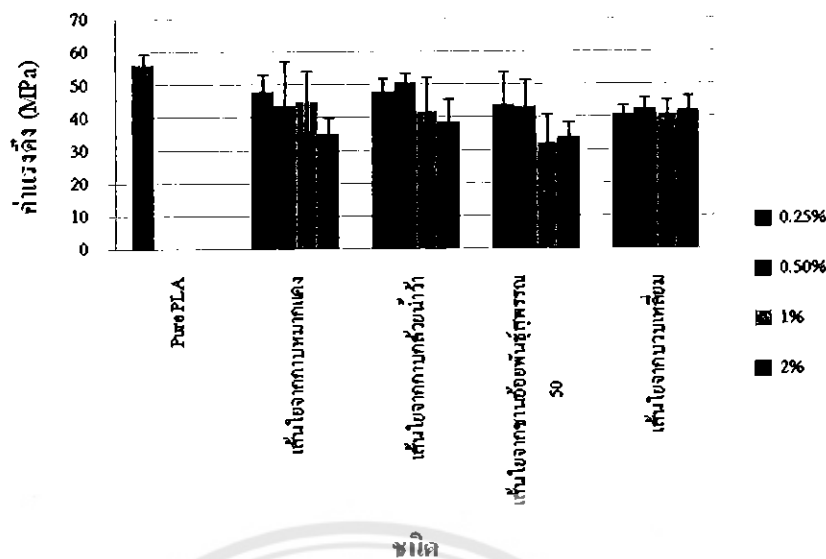
### ผลการทดลองและวิเคราะห์

#### 4.1 ผลการทดสอบ

##### 4.1.1 ผลการทดสอบคุณสมบัติการรับแรงดึง

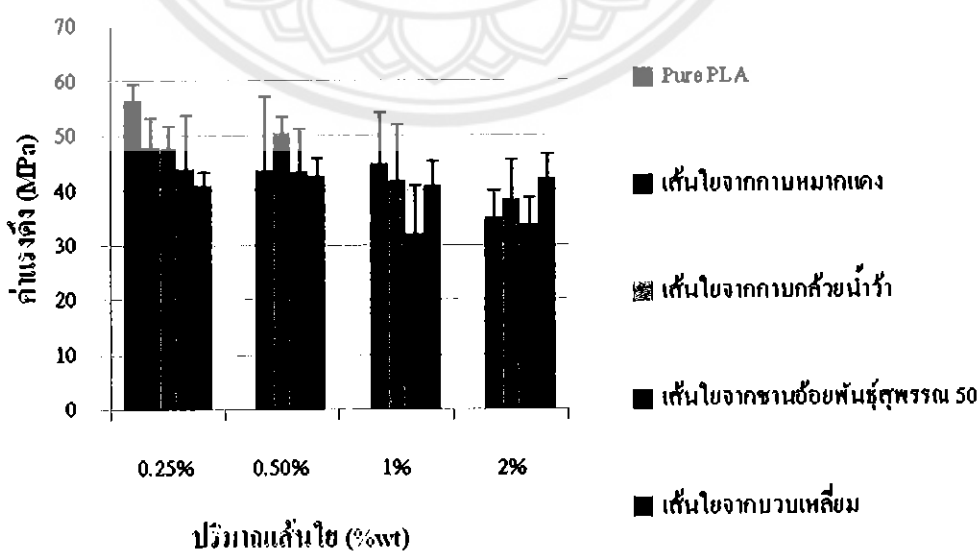
ผลการทดสอบคุณสมบัติการดึงจำนวนทั้งหมด 102 ชิ้น ที่ผ่านการเตรียมชิ้นงานทดสอบแล้ว แสดงได้ดังตารางที่ ก.1 (ภาคผนวก ก)

จากรูปที่ 4.1 การทดลองการใช้พลาสติกชีวภาพ PLA ร่วมกับ เส้นใยพืชจากกาบหมากแดง กาบกล้วยน้ำว้า ชานอ้อยพันธุ์สุพรรณ 50 และบวบเหลี่ยม พบว่าคุณสมบัติการรับแรงดึงมีค่าลดลงเมื่อเปรียบเทียบกับ พลาสติกชีวภาพ PLA บริสุทธิ์ เนื่องจากกระบวนการเรียงตัวของเส้นใย มีผลต่อคุณสมบัติการรับแรงดึง ซึ่งในงานวิจัยนี้ได้ทำการขึ้นรูปชิ้นงานโดยการเรียงเส้นใยแบบสุ่ม ทำให้เส้นใยบางส่วนเรียงตัวขวางแนวแรงดึง จึงอาจเป็นสาเหตุที่ทำให้คุณสมบัติการรับแรงดึงลดลง เมื่อพิจารณาที่เส้นใยจากพืชที่ปริมาณต่างๆ พบว่าคุณสมบัติการรับแรงดึงเฉลี่ยของคอม โพลีดีชีวภาพจากเส้นใยกาบหมากแดง กาบกล้วยน้ำว้า และชานอ้อยพันธุ์สุพรรณ 50 มีแนวโน้มลดลงตามปริมาณเส้นใยที่เพิ่มขึ้น เช่นเดียวกับงานวิจัยของ ปราณี ชุมสำโรง(2547) ได้ทำการศึกษาวิจัยถึงคุณสมบัติการรับแรงดึงของคอม โพลีดีชีวภาพจากเส้นใยกล้วยน้ำว้าและเส้นใยป่านศรนารายณ์ พบว่าคุณสมบัติการรับแรงดึงมีค่าสูงกว่าพอลิ โพรพิลีนเมื่อใช้ปริมาณเส้นใยต่ำ แต่เมื่อเพิ่มปริมาณเส้นใยมากขึ้น คุณสมบัติการรับแรงดึงมีค่าลดลง โดยคุณสมบัติการรับแรงดึงของคอม โพลีดีชีวภาพจากเส้นใยกาบกล้วยน้ำว้า ที่ปริมาณเส้นใย 0.50%wt มีค่ามากที่สุดคือ 50.33849 MPa โดยลดลงคิดเป็น 10.58% ของค่าสมบัติการรับแรงดึงของพลาสติกชีวภาพ PLA บริสุทธิ์ ส่วนคุณสมบัติการรับแรงดึงเฉลี่ยของคอม โพลีดีชีวภาพจากเส้นใยบวบเหลี่ยมนั้น มีค่าค่อนข้างคงที่



รูปที่ 4.1 กราฟแสดงคุณสมบัติการรับแรงดึงที่เส้นใยแต่ละชนิด

จากรูปที่ 4.2 เมื่อเปรียบเทียบการใช้พลาสติกชีวภาพ PLA ร่วมกับ เส้นใยพืชจากกากหมากแดง กากกล้วยน้ำว้า ชานอ้อยพันธุ์สุพรรณ 50 และบวบเหลี่ยม โดยใช้เส้นใยจากพืชต่างชนิดกัน ในปริมาณเท่ากัน พบว่าที่ปริมาณเส้นใยเท่ากัน คอมโพลีเมอร์ชีวภาพจากเส้นใยจากหมากแดง และกากกล้วยน้ำว้า มีคุณสมบัติการรับแรงดึงเฉลี่ยต่ำกว่าชานอ้อยพันธุ์สุพรรณ 50 และบวบเหลี่ยม แต่ที่ปริมาณเส้นใย 2%wt คอมโพลีเมอร์ชีวภาพจากเส้นใยบวบเหลี่ยมมีคุณสมบัติการรับแรงดึงมากที่สุด

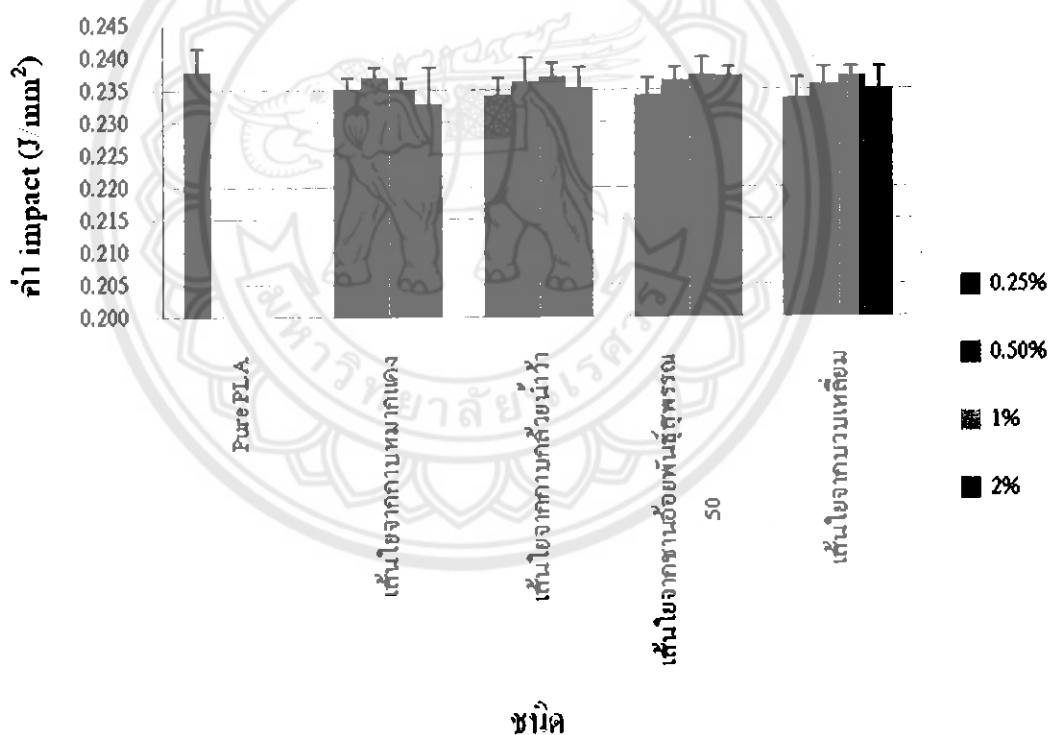


รูปที่ 4.2 กราฟแสดงคุณสมบัติการรับแรงดึงที่ปริมาณเส้นใยที่แตกต่างกัน

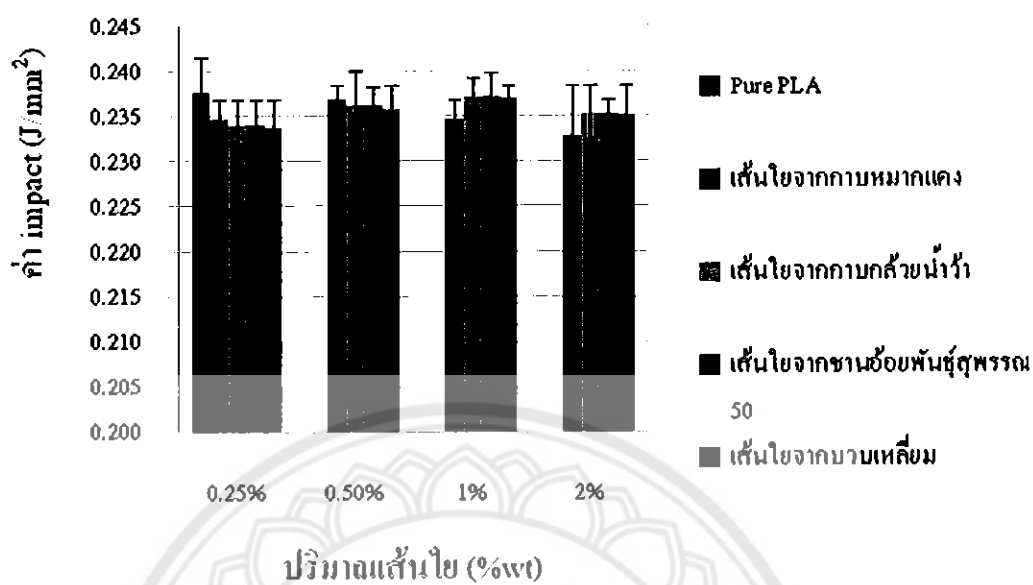
#### 4.1.2 ผลการทดสอบคุณสมบัติความต้านทานต่อแรงกระแทก

ผลการทดสอบคุณสมบัติความต้านทานต่อแรงกระแทกจำนวนทั้งหมด 204 ชิ้น ที่ผ่านการเตรียมชิ้นงานทดสอบแล้วแสดงได้ดังตารางที่ ก.2 (ภาคผนวก ก)

จากรูปที่ 4.3 และ รูปที่ 4.4 เมื่อใช้พลาสติกชีวภาพ PLA ร่วมกับเส้นใยพืชจากกาบหมากแดง กาบกล้วยน้ำว้า ชานอ้อยพันธุ์สุพรรณ 50 และบวบเหลี่ยม พบว่าคุณสมบัติความต้านทานต่อแรงกระแทก มีค่าค่อนข้างคงที่เมื่อเปรียบเทียบกับพลาสติกชีวภาพ PLA บริสุทธิ์ ใน การงานวิจัยของปราณี ชุมสำโรง (2547) ได้ทำการศึกษาวิจัยถึงคุณสมบัติความต้านทานต่อแรงกระแทกของคอมโพสิตชีวภาพจากเส้นใยกล้วยน้ำว้าและเส้นใยป่านสรนารายณ์ พบว่าคุณสมบัติความต้านทานต่อแรงกระแทกมีใกล้เคียงกันและมีค่าลดลงตามปริมาณเส้นใยที่เพิ่มขึ้น โดยส่วนมากที่ปริมาณเส้นใย 1%wt จะทำให้คุณสมบัติความต้านทานต่อแรงกระแทกมีค่ามากที่สุด เมื่อเพิ่มปริมาณเส้นใยเป็น 2%wt คุณสมบัติความต้านทานต่อแรงกระแทกมีแนวโน้มลดลง



รูปที่ 4.3 กราฟแสดงคุณสมบัติความต้านทานต่อแรงกระแทกที่เส้นใยแต่ละชนิด

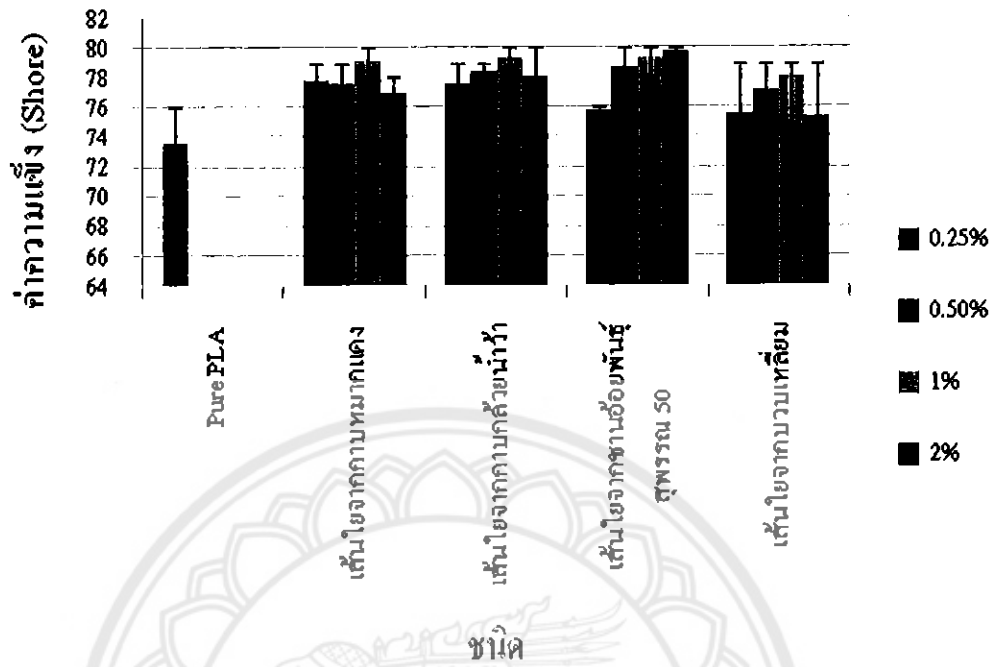


รูปที่ 4.4 กราฟแสดงคุณสมบัติความต้านทานต่อแรงกระแทกที่ปริมาณเส้นใยที่แตกต่างกัน

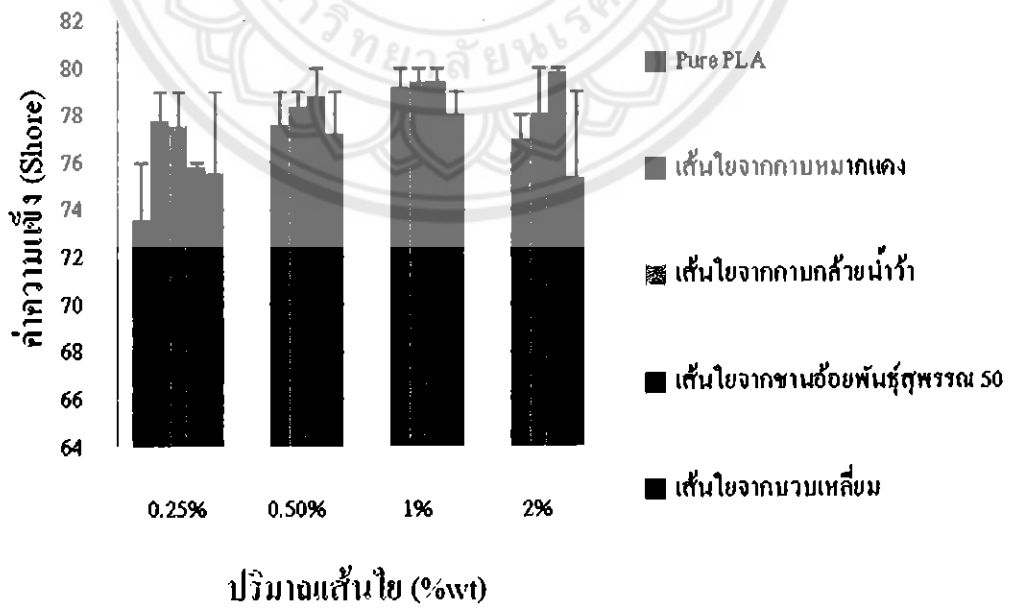
### 4.1.3 ผลการทดสอบคุณสมบัติความแข็ง

ผลการทดสอบคุณสมบัติความแข็งจำนวนทั้งหมด 17 ชิ้น โดยกดชิ้นละ 5 จุดรวมทั้งหมด 85 จุด ที่ผ่านการเตรียมชิ้นงานทดสอบแล้วแสดง ได้ดังตารางที่ ก.3 (ภาคผนวก ก)

จากรูปที่ 4.5 และรูปที่ 4.6 เมื่อใช้พลาสติกชีวภาพ PLA ร่วมกับ เส้นใยพืชจากกาบหมากแดง กาบกล้วยน้ำว้า ชานอ้อยพันธุ์สุพรรณ 50 และบวบเหลี่ยม พบว่าคุณสมบัติความแข็งมีค่ามากขึ้นเมื่อเปรียบเทียบกับพลาสติกชีวภาพ PLA บริสุทธิ์ เนื่องจากเส้นใยที่นำมาเสริมแรงในชิ้นงานคอมโพสิตช่วยในการรับและกระจายแรงจากพลาสติกชีวภาพ เมื่อพิจารณาที่เส้นใยจากพืชที่ปริมาณต่างๆ พบว่าคุณสมบัติความแข็งเฉลี่ยของคอมโพสิตชีวภาพจากเส้นใยชานอ้อยพันธุ์สุพรรณ 50 ที่ปริมาณเส้นใย 2%wt มีค่ามากที่สุด คือ 79.8 Shore โดยเพิ่มขึ้นคิดเป็น 8.424% ของคุณสมบัติความแข็งของพลาสติกชีวภาพ PLA บริสุทธิ์ ทั้งนี้ ลักษณะเส้นใยที่ได้จากชานอ้อยพันธุ์สุพรรณ 50 โดยเฉลี่ยมีขนาดใหญ่กว่า เส้นใยจากกาบหมากแดง กาบกล้วยน้ำว้า และบวบเหลี่ยม ซึ่งสอดคล้องกับงานวิจัยของไพศาล นาคพิพัฒน์และ เคือนพร บุญศิริคำชัย (2549) ซึ่ง ได้ศึกษาสมบัติของวัสดุเชิงประกอบพีวีซีกับผงหนัง และวัสดุเชิงประกอบพีวีซีกับเยื่อชานอ้อย โดยไม่ใช้สารเติมแต่ง จากการทดลองเมื่อเปรียบเทียบขนาดของเส้นใยวัสดุเสริมแรง พบว่าทั้งผงหนังและเยื่อชานอ้อย ขนาดใหญ่ให้ผลคุณสมบัติความแข็งดีกว่าเส้นใยขนาดเล็ก ส่วนคอมโพสิตชีวภาพจากเส้นใยบวบเหลี่ยม ที่ปริมาณเส้นใย 0.25%wt มีคุณสมบัติความแข็งน้อยที่สุดแต่มีค่ามากกว่าพลาสติกชีวภาพ PLA บริสุทธิ์ คือ มีค่า 75.6 Shore โดยเพิ่มขึ้นคิดเป็น 2.99% ของคุณสมบัติความแข็งของพลาสติกชีวภาพ PLA บริสุทธิ์ เนื่องจากเส้นใยจากบวบเหลี่ยม มีลักษณะเป็นเส้นใยที่เชื่อมต่อกันคล้ายตาข่าย และมีการยึดเกาะระหว่างเส้นใยด้วยกันเองมากกว่าเส้นใยชนิดอื่นทำให้เกิดการยึดเกาะกับพลาสติกชีวภาพ PLA น้อย เป็นผลให้คอมโพสิตชีวภาพจากเส้นใยบวบเหลี่ยมมีคุณสมบัติความแข็งน้อยกว่าคอมโพสิตชีวภาพจากเส้นใยพืชอีก 3 ชนิด



รูปที่ 4.5 กราฟแสดงคุณสมบัติความแข็งที่เส้นใยแต่ละชนิด



รูปที่ 4.6 กราฟแสดงคุณสมบัติความแข็งที่ปริมาณเส้นใยที่แตกต่างกัน

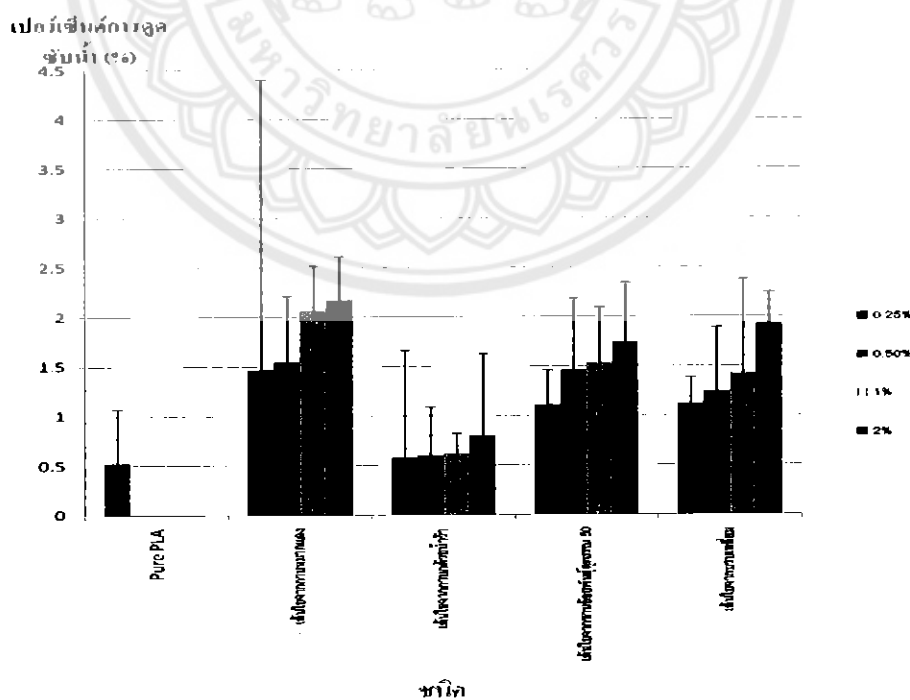
#### 4.1.4 ผลการทดสอบคุณสมบัติการย่อยสลาย

จากการทดลองเมื่อระยะเวลาการทดลองครบ 6 สัปดาห์ นำชิ้นมาสังเกตลักษณะภายนอกของชิ้นงาน และชั่งน้ำหนัก ไม่เกิดการเปลี่ยนแปลง

#### 4.1.5 ผลการทดสอบคุณสมบัติการดูดซับน้ำ

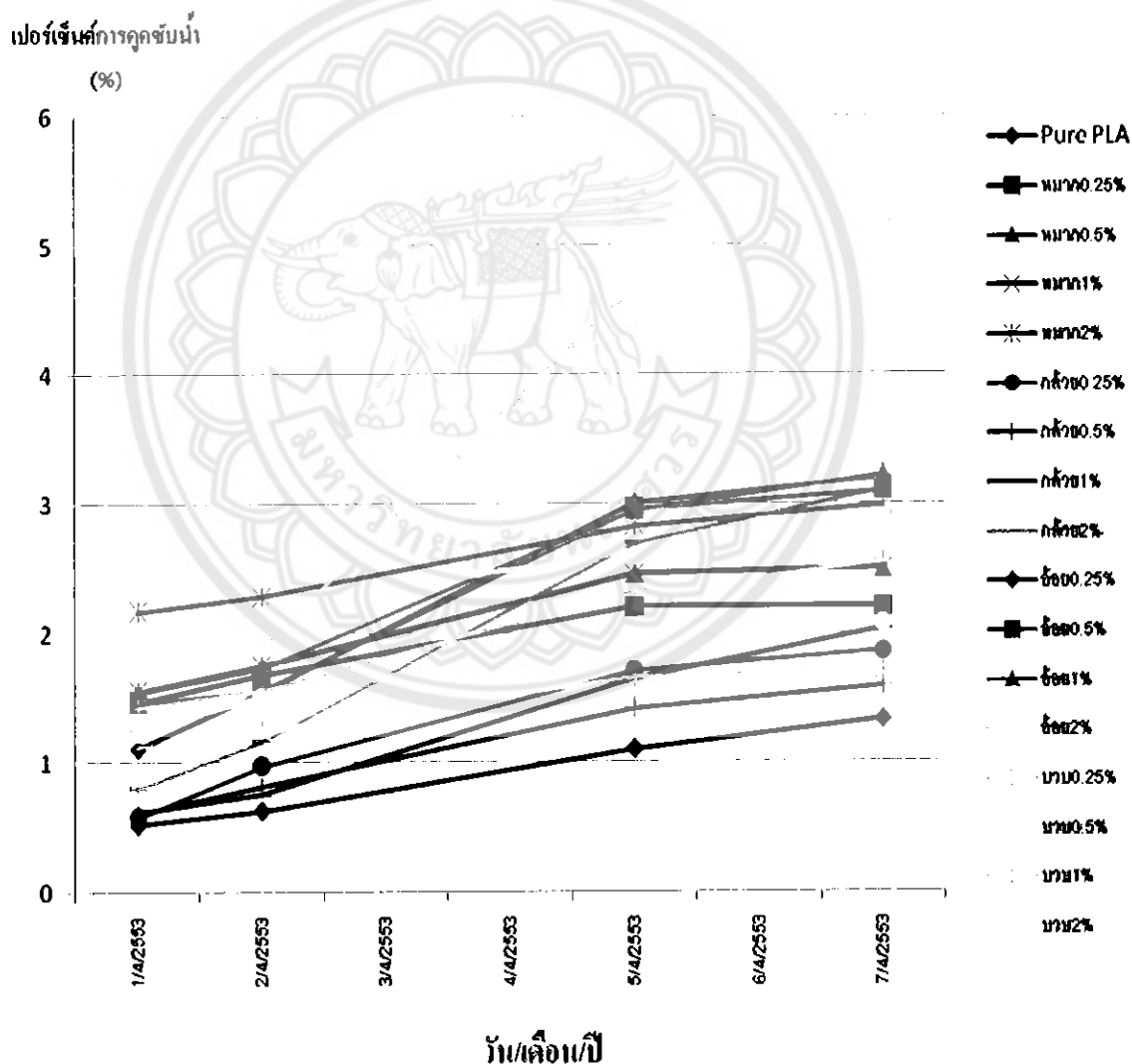
ผลการทดสอบคุณสมบัติการดูดซับน้ำจำนวนทั้งหมด 85 ชิ้น ที่ผ่านการเตรียมชิ้นงานทดสอบแล้วแสดงได้ดังตารางที่ ก.4 – ก.9 (ภาคผนวก ก)

จากรูปที่ 4.7 เมื่อใช้พลาสติกชีวภาพ PLA ร่วมกับ เส้นใยพืชจากกากหมากแดง กากกล้วยน้ำว้า ชานอ้อยพันธุ์สุพรรณ 50 และบวบเหลี่ยม พบว่า คุณสมบัติการดูดซับน้ำ มีค่าสูงขึ้นเมื่อเปรียบเทียบกับ พลาสติกชีวภาพ PLA บริสุทธิ์ โดยมีแนวโน้มเพิ่มขึ้น ตามปริมาณเส้นใยที่เพิ่มขึ้น เนื่องจากเส้นใยจากพืชสามารถดูดซับน้ำได้ดี โดยคุณสมบัติการดูดซับน้ำของคอมโพสิตชีวภาพจากเส้นใยกากหมากแดง ที่ปริมาณเส้นใย 2 %wt มีค่ามากที่สุดคือ 2.17% ทั้งนี้ เพราะเมื่อเพิ่มปริมาณเส้นใยจึงทำให้เพิ่มพื้นที่ผิวของเส้นใยในชิ้นงานทดสอบคอมโพสิตชีวภาพจากเส้นใยจากพืชทั้ง 4 ชนิด ทำให้คุณสมบัติการดูดซับน้ำมากขึ้น



รูปที่ 4.7 กราฟแสดงคุณสมบัติการดูดซับน้ำเมื่อระยะเวลาผ่านไป 1 วัน

จากรูปที่ 4.8 เมื่อใช้พลาสติกชีวภาพ PLA ร่วมกับ เส้นใยพืชจากกากหมากแดง กากกล้วยน้ำว้า ขานอ้อยพันธุ์สุพรรณ 50 และบวบเหลี่ยม พบว่า คุณสมบัติการดูดซับน้ำ มีค่าสูงขึ้นเมื่อเปรียบเทียบกับ พลาสติกชีวภาพ PLA บริสุทธิ์ โดยมีแนวโน้มเพิ่มขึ้น ตามปริมาณเส้นใยที่เพิ่มขึ้น โดยคุณสมบัติการดูดซับน้ำของคอมโพสิตชีวภาพจากเส้นใยขานอ้อยพันธุ์สุพรรณ 50 ที่ปริมาณเส้นใย 2 %wt มีค่ามากที่สุดคือ 5.12% อาจเนื่องมาจากลักษณะเส้นใยจากขานอ้อยพันธุ์สุพรรณ 50 มีพื้นผิวลักษณะรูพรุนคล้ายฟองน้ำ และเส้นใยมีขนาดใหญ่จึงสามารถดูดซับน้ำได้ดี เมื่อใช้ระยะเวลาในการแช่เพิ่มขึ้น



รูปที่ 4.8 กราฟแสดงคุณสมบัติการดูดซับน้ำเมื่อระยะเวลาผ่านไป 7 วัน

## 4.2 การวิเคราะห์ความแปรปรวนของข้อมูล

เมื่อได้ผลการทดลองผู้วิจัยเลือกใช้โปรแกรมสำเร็จรูปทางสถิติ ซึ่งเป็นโปรแกรมที่สามารถวิเคราะห์ความแปรปรวน (ANOVA) เพื่อกรองปัจจัยที่มีผลต่อคุณสมบัติคุณสมบัติการรับแรงดึง ความต้านทานต่อแรงกระแทก ความแข็งที่ผิว และการดูดซับน้ำ ที่ระดับนัยสำคัญที่เราต้องการนำมาเป็นเครื่องมือช่วยในการวิเคราะห์ข้อมูล

การวิเคราะห์ความแปรปรวนของปัจจัย คือ ปริมาณเส้นใย และชนิดของเส้นใย ที่ส่งผลกระทบต่อคุณสมบัติการรับแรงดึง ความต้านทานต่อแรงกระแทก ความแข็งที่ผิว และการดูดซับน้ำ โดยทำการพิจารณาค่านัยสำคัญ (Sig.) จะทำการปฏิเสธสมมติฐานหลัก ( $H_0$ ) ถ้าค่านัยสำคัญน้อยกว่าระดับนัยสำคัญ ( $\alpha=0.05$ ) และยอมรับสมมติฐานหลัก ( $H_a$ ) ถ้าค่านัยสำคัญมากกว่าระดับนัยสำคัญ ( $\alpha=0.05$ )

### 4.2.1 การวิเคราะห์ความแปรปรวนของปัจจัยที่มีผลกระทบต่อคุณสมบัติการรับแรงดึง

ตารางที่ 4.1 ตารางวิเคราะห์ความแปรปรวนของปัจจัยที่มีผลกระทบต่อคุณสมบัติการรับแรงดึง

Source	Sum of Squares	Degree of Freedom	Mean Square	F	Sig.
Kind	1525.95	4	381.487	$9.536 \times 10^{12}$	0.000
Quantity	285.00	3	94.999	$2.375 \times 10^{12}$	0.000
Kind*Quantity	312.37	12	26.031	$6.507 \times 10^{11}$	0.000
Error	0.00	20	0.000		
Total	2123.31	39			

จากตารางที่ 4.1 ตารางการวิเคราะห์ความแปรปรวนของปัจจัยที่มีผลกระทบต่อคุณสมบัติการรับแรงดึง ที่มีค่านัยสำคัญ (Sig.) ที่ระดับนัยสำคัญ 0.05 สรุปได้ว่า

1. ตรวจสอบอิทธิพลของปัจจัยที่ 1 คือชนิดของเส้นใย

$H_0$  คือ ชนิดของเส้นใยไม่มีผลกระทบต่อคุณสมบัติการรับแรงดึง

$H_1$  คือ ชนิดของเส้นใยมีผลกระทบต่อคุณสมบัติการรับแรงดึง

ค่านัยสำคัญ = 0.000 < 0.05 จึง ปฏิเสธ  $H_0$  ยอมรับ  $H_1$  นั่นคือ ชนิดของเส้นใยมีผลกระทบต่อคุณสมบัติการรับแรงดึง ซึ่งทำให้คุณสมบัติการรับแรงดึงเปลี่ยนไป เมื่อชนิดของเส้นใยเปลี่ยนไป

2. ตรวจสอบอิทธิพลของปัจจัยที่ 2 คือปริมาณเส้นใย

$H_0$  คือ ปริมาณเส้นใยไม่มีผลกระทบต่อคุณสมบัติการรับแรงดึง

$H_1$  คือ ปริมาณเส้นใยมีผลกระทบต่อคุณสมบัติการรับแรงดึง

ค่านัยสำคัญ = 0.000 < 0.05 จึง ปฏิเสธ  $H_0$  ยอมรับ  $H_1$  นั่นคือ ปริมาณเส้นใยมีผลกระทบต่อคุณสมบัติการรับแรงดึง ซึ่งทำให้คุณสมบัติการรับแรงดึงเปลี่ยนไป เมื่อปริมาณเส้นใยเปลี่ยนไป

3. ตรวจสอบอิทธิพลของปัจจัยที่ 3 คือชนิดของเส้นใย และปริมาณเส้นใย

$H_0$  คือ ชนิดของเส้นใย และปริมาณเส้นใยไม่มีผลกระทบต่อคุณสมบัติการรับแรงดึง

$H_1$  คือ ชนิดของเส้นใย และปริมาณเส้นใยมีผลกระทบต่อคุณสมบัติการรับแรงดึง

ค่านัยสำคัญ = 0.000 < 0.05 จึง ปฏิเสธ  $H_0$  ยอมรับ  $H_1$  นั่นคือ ชนิด และปริมาณเส้นใยมีผลกระทบต่อคุณสมบัติการรับแรงดึง ซึ่งทำให้คุณสมบัติการรับแรงดึงเปลี่ยนไป เมื่อชนิดและปริมาณเส้นใยเปลี่ยนไป

4.2.2 การวิเคราะห์ความแปรปรวนของปัจจัยที่มีผลกระทบต่อคุณสมบัติความต้านทานต่อแรงกระแทก

ตารางที่ 4.2 ตารางวิเคราะห์ความแปรปรวนของปัจจัยที่มีผลกระทบต่อคุณสมบัติความต้านทานต่อแรงกระแทก

Source	Sum of Squares	Degree of Freedom	Mean Square	F	Sig.
Kind	0.0000378	4	0.0000094	39.91	0.000
Quantity	0.0000197	3	0.0000066	27.69	0.000
Kind*Quantity	0.0000273	12	0.0000023	9.62	0.000
Error	0.0000047	20	0.0000002		
Total	0.0000895	39			

จากตารางที่ 4.2 ตารางการวิเคราะห์ความแปรปรวนของปัจจัยที่มีผลกระทบต่อคุณสมบัติความต้านทานต่อแรงกระแทกที่มีค่านัยสำคัญ (sig.) ที่ระดับนัยสำคัญ 0.05 สรุปได้ว่า

1. ตรวจสอบอิทธิพลของปัจจัยที่ 1 คือชนิดของเส้นใย

$H_0$  คือ ชนิดของเส้นใยไม่มีผลกระทบต่อคุณสมบัติความต้านทานต่อแรงกระแทก

$H_1$  คือ ชนิดของเส้นใยมีผลกระทบต่อคุณสมบัติความต้านทานต่อแรงกระแทก

ค่านัยสำคัญ =  $0.000 < 0.05$  จึง ปฏิเสธ  $H_0$  ยอมรับ  $H_1$  นั่นคือ ชนิดของเส้นใยมีผลกระทบต่อคุณสมบัติความต้านทานต่อแรงกระแทก ซึ่งทำให้คุณสมบัติความต้านทานต่อแรงกระแทกเปลี่ยนไป เมื่อชนิดของเส้นใยเปลี่ยนไป

2. ตรวจสอบอิทธิพลของปัจจัยที่ 2 คือปริมาณเส้นใย

$H_0$  คือ ปริมาณเส้นใยไม่มีผลกระทบต่อคุณสมบัติความต้านทานต่อแรงกระแทก

$H_1$  คือ ปริมาณเส้นใยมีผลกระทบต่อคุณสมบัติความต้านทานต่อแรงกระแทก

ค่านัยสำคัญ =  $0.000 < 0.05$  จึง ปฏิเสธ  $H_0$  ยอมรับ  $H_1$  นั่นคือ ปริมาณเส้นใยมีผลกระทบต่อคุณสมบัติความต้านทานต่อแรงกระแทก ซึ่งทำให้คุณสมบัติความต้านทานต่อแรงกระแทกเปลี่ยนไป เมื่อปริมาณเส้นใยเปลี่ยนไป

3. ตรวจสอบอิทธิพลของปัจจัยที่ 3 คือชนิดของเส้นใย และปริมาณเส้นใย

$H_0$  คือ ชนิดของเส้นใย และปริมาณเส้นใยไม่มีผลกระทบต่อคุณสมบัติความต้านทานต่อแรงกระแทก

$H_1$  คือ ชนิดของเส้นใย และปริมาณเส้นใยมีผลกระทบต่อคุณสมบัติความต้านทานต่อแรงกระแทก

ค่านัยสำคัญ =  $0.000 < 0.05$  จึง ปฏิเสธ  $H_0$  ยอมรับ  $H_1$  นั่นคือ ชนิด และปริมาณเส้นใยมีผลกระทบต่อคุณสมบัติความต้านทานต่อแรงกระแทก ซึ่งทำให้คุณสมบัติความต้านทานต่อแรงกระแทกเปลี่ยนไป เมื่อชนิด และปริมาณเส้นใยเปลี่ยนไป

#### 4.2.3 การวิเคราะห์ความแปรปรวนของปัจจัยที่มีผลกระทบต่อค่าความแข็ง

ตารางที่ 4.3 ตารางวิเคราะห์ความแปรปรวนของปัจจัยที่มีผลกระทบต่อคุณสมบัติความแข็ง

Source	Sum of Squares	Degree of Freedom	Mean Square	F	Sig.
Kind	128.536	4	32.1340	378.05	0.000
Quantity	21.867	3	7.2890	85.75	0.000
Kind*Quantity	20.888	12	1.7407	20.48	0.000
Error	1.700	20	0.0850		
Total	172.991	39			

จากตารางที่ 4.3 ตารางการวิเคราะห์ความแปรปรวนของปัจจัยที่มีผลกระทบต่อคุณสมบัติความแข็ง ที่มีค่านัยสำคัญ (Sig.) ที่ระดับนัยสำคัญ 0.05 สรุปได้ว่า

1. ตรวจสอบอิทธิพลของปัจจัยที่ 1 คือชนิดของเส้นใย

$H_0$  คือ ชนิดของเส้นใยไม่มีผลกระทบต่อคุณสมบัติความแข็ง

$H_1$  คือ ชนิดของเส้นใยมีผลกระทบต่อคุณสมบัติความแข็ง

ค่านัยสำคัญ = 0.000 < 0.05 จึง ปฏิเสธ  $H_0$  ยอมรับ  $H_1$  นั่นคือชนิดของเส้นใยมีผลกระทบต่อค่าความแข็งซึ่งทำให้ค่าความแข็งเปลี่ยนไป เมื่อชนิดของเส้นใยเปลี่ยนไป

2. ตรวจสอบอิทธิพลของปัจจัยที่ 2 คือปริมาณเส้นใย

$H_0$  คือ ปริมาณเส้นใยไม่มีผลกระทบต่อคุณสมบัติความแข็ง

$H_1$  คือ ปริมาณเส้นใยมีผลกระทบต่อคุณสมบัติความแข็ง

ค่านัยสำคัญ = 0.000 < 0.05 จึง ปฏิเสธ  $H_0$  ยอมรับ  $H_1$  นั่นคือปริมาณเส้นใยมีผลกระทบต่อค่าความแข็ง ซึ่งทำให้ค่าความแข็งเปลี่ยนไป เมื่อปริมาณเส้นใยเปลี่ยนไป

3. ตรวจสอบอิทธิพลของปัจจัยที่ 3 คือชนิดของเส้นใย และปริมาณเส้นใย

$H_0$  คือ ชนิดของเส้นใย และปริมาณเส้นใยไม่มีผลกระทบต่อคุณสมบัติความแข็ง

$H_1$  คือ ชนิดของเส้นใย และปริมาณเส้นใยมีผลกระทบต่อคุณสมบัติความแข็ง

ค่านัยสำคัญ = 0.000 < 0.05 จึง ปฏิเสธ  $H_0$  ยอมรับ  $H_1$  นั่นคือชนิด และปริมาณเส้นใยมีผลกระทบต่อค่าความแข็ง ซึ่งทำให้ค่าความแข็งเปลี่ยนไป เมื่อปริมาณเส้นใยเปลี่ยนไป

#### 4.2.4 การวิเคราะห์ความแปรปรวนของปัจจัยที่มีผลกระทบต่อคุณสมบัติการดูดซับน้ำ

ตารางที่ 4.4 ตารางวิเคราะห์ความแปรปรวนของปัจจัยที่มีผลกระทบต่อคุณสมบัติการดูดซับน้ำ

Source	Sum of Squares	Degree of Freedom	Mean Square	F	Sig.
Kind	10.4612	4	2.61530	1187.24	0.000
Quantity	0.9862	3	0.32872	149.23	0.000
Kind*Quantity	0.7360	12	0.06133	27.84	0.000
Error	0.0441	20	0.00220		
Total	12.2274	39			

จากตารางที่ 4.4 ตารางวิเคราะห์ความแปรปรวนของปัจจัยที่มีผลกระทบต่อคุณสมบัติการดูดซับน้ำที่มีค่านัยสำคัญ (Sig.) ที่ระดับนัยสำคัญ 0.05 สรุปได้ว่า

1. ตรวจสอบอิทธิพลของปัจจัยที่ 1 คือชนิดของเส้นใย

$H_0$  คือ ชนิดของเส้นใยไม่มีผลกระทบต่อคุณสมบัติการดูดซับน้ำ

$H_1$  คือ ชนิดของเส้นใยมีผลกระทบต่อคุณสมบัติการดูดซับน้ำ

ค่านัยสำคัญ = 0.000 < 0.05 จึง ปฏิเสธ  $H_0$  ยอมรับ  $H_1$  นั่นคือชนิดของเส้นใยมีผลกระทบต่อคุณสมบัติการดูดซับน้ำ ซึ่งทำให้คุณสมบัติการดูดซับน้ำเปลี่ยนไป เมื่อชนิดของเส้นใยเปลี่ยนไป

2. ตรวจสอบอิทธิพลของปัจจัยที่ 2 คือปริมาณเส้นใย

$H_0$  คือ ปริมาณเส้นใยไม่มีผลกระทบต่อคุณสมบัติการดูดซับน้ำ

$H_1$  คือ ปริมาณเส้นใยมีผลกระทบต่อคุณสมบัติการดูดซับน้ำ

ค่านัยสำคัญ = 0.000 < 0.05 จึง ปฏิเสธ  $H_0$  ยอมรับ  $H_1$  นั่นคือปริมาณเส้นใยมีผลกระทบต่อคุณสมบัติการดูดซับน้ำ ซึ่งทำให้คุณสมบัติการดูดซับน้ำเปลี่ยนไป เมื่อปริมาณเส้นใยเปลี่ยนไป

3. ตรวจสอบอิทธิพลของปัจจัยที่ 3 คือชนิดของเส้นใย และปริมาณเส้นใย

$H_0$  คือ ชนิดของเส้นใย และปริมาณเส้นใยไม่มีผลกระทบต่อคุณสมบัติการดูดซับน้ำ

$H_1$  คือ ชนิดของเส้นใย และปริมาณเส้นใยมีผลกระทบต่อคุณสมบัติการดูดซับน้ำ

ค่านัยสำคัญ = 0.000 < 0.05 จึง ปฏิเสธ  $H_0$  ยอมรับ  $H_1$  นั่นคือชนิด และปริมาณเส้นใยมีผลกระทบต่อคุณสมบัติการดูดซับน้ำ ซึ่งทำให้คุณสมบัติการดูดซับน้ำเปลี่ยนไป เมื่อชนิด และปริมาณเส้นใยเปลี่ยนไป



## บทที่ 5

### บทสรุปและข้อเสนอแนะ

#### 5.1 สรุปผลการทดลอง

5.1.1 การศึกษาผลของชนิดของเส้นใยพืชจากกาบหมากแดง กาบกล้วยน้ำว้า ชานอ้อยพันธุ์สุพรรณ 50 และบวบเหลี่ยมที่มีผลต่อคุณสมบัติการรับแรงดึง ความต้านทานแรงกระแทก ความแข็ง และการดูดซับน้ำ

##### 5.1.1.1 คุณสมบัติการรับแรงดึง

คุณสมบัติการรับแรงดึงของคอมโพสิตชีวภาพมีค่าลดลงเมื่อเปรียบเทียบกับพลาสติกชีวภาพ PLA บริสุทธิ์ โดยคุณสมบัติการรับแรงดึงของคอมโพสิตชีวภาพจากเส้นใยกาบกล้วยน้ำว้า มีค่ามากที่สุด เมื่อเปรียบเทียบกับคอมโพสิตชีวภาพจากเส้นใยกาบหมากแดง ชานอ้อยพันธุ์สุพรรณ 50 และบวบเหลี่ยม

##### 5.1.1.2 คุณสมบัติความต้านทานต่อแรงกระแทก

คุณสมบัติความต้านทานต่อแรงกระแทกของคอมโพสิตชีวภาพมีค่าค่อนข้างคงที่เมื่อเปรียบเทียบกับพลาสติกชีวภาพ PLA บริสุทธิ์

##### 5.1.1.3 คุณสมบัติความแข็ง

คุณสมบัติความแข็งของคอมโพสิตชีวภาพมีค่าเพิ่มขึ้นเมื่อเปรียบเทียบกับพลาสติกชีวภาพ PLA บริสุทธิ์ โดยคุณสมบัติความแข็งของคอมโพสิตชีวภาพจากเส้นใยชานอ้อยพันธุ์สุพรรณ 50 มีค่ามากที่สุด เมื่อเปรียบเทียบกับคอมโพสิตชีวภาพจากเส้นใยกาบหมากแดง กาบกล้วยน้ำว้า และบวบเหลี่ยม

##### 5.1.1.4 คุณสมบัติการดูดซับน้ำ

คุณสมบัติการดูดซับน้ำของคอมโพสิตชีวภาพมีค่าเพิ่มขึ้นเมื่อเปรียบเทียบกับพลาสติกชีวภาพ PLA บริสุทธิ์ โดยคุณสมบัติการดูดซับน้ำของคอมโพสิตชีวภาพจากเส้นใยกาบหมากแดง มีค่ามากที่สุด เมื่อเปรียบเทียบกับคอมโพสิตชีวภาพจากเส้นใยกาบกล้วยน้ำว้า ชานอ้อยพันธุ์สุพรรณ 50 และบวบเหลี่ยม

5.1.2 การศึกษาผลของปริมาณเส้นใยพืชจากกากหมากแดง กากกล้วยน้ำว้า ชานอ้อย พันธุ์สุพรรณ 50 และบวบเหลี่ยมที่มีผลต่อคุณสมบัติการรับแรงดึง ความต้านทานแรงกระแทก ความแข็ง และการดูดซับน้ำ

#### 5.1.2.1 คุณสมบัติการรับแรงดึง

คุณสมบัติการรับแรงดึงของคอม โพลีลิกชีวภาพมีค่าลดลงเมื่อเปรียบเทียบกับ พลาสติกชีวภาพ PLA บริสุทธิ์ โดยคุณสมบัติการรับแรงดึงของคอม โพลีลิกชีวภาพที่ปริมาณเส้นใย 0.5%wt มีค่ามากที่สุด เมื่อเปรียบเทียบกับคอม โพลีลิกชีวภาพที่ปริมาณเส้นใย 0.25%wt, 1%wt และ 2%wt

#### 5.1.2.2 คุณสมบัติความต้านทานต่อแรงกระแทก

คุณสมบัติความต้านทานต่อแรงกระแทกของคอม โพลีลิกชีวภาพมีค่าค่อนข้าง คงที่เมื่อเปรียบเทียบกับพลาสติกชีวภาพ PLA บริสุทธิ์

#### 5.1.2.3 คุณสมบัติความแข็ง

คุณสมบัติความแข็งของคอม โพลีลิกชีวภาพมีค่าเพิ่มขึ้นเมื่อเปรียบเทียบกับ พลาสติกชีวภาพ PLA บริสุทธิ์ โดยคุณสมบัติความแข็งของคอม โพลีลิกชีวภาพที่ปริมาณเส้นใย 2%wt มีค่ามากที่สุด เมื่อเปรียบเทียบกับคอม โพลีลิกชีวภาพที่ปริมาณเส้นใย 0.25%wt, 0.5%wt และ 2%wt

#### 5.1.2.4 คุณสมบัติการดูดซับน้ำ

คุณสมบัติการดูดซับน้ำของคอม โพลีลิกชีวภาพมีค่าเพิ่มขึ้นเมื่อเปรียบเทียบกับ พลาสติกชีวภาพ PLA บริสุทธิ์ โดยคุณสมบัติการดูดซับน้ำของคอม โพลีลิกชีวภาพที่ปริมาณเส้นใย 2%wt มีค่ามากที่สุด เมื่อเปรียบเทียบกับคอม โพลีลิกชีวภาพที่ปริมาณเส้นใย 0.25%wt, 0.5%wt และ 2%wt

#### 5.1.3 การวิเคราะห์ความแปรปรวนของข้อมูล

จากการวิเคราะห์ความแปรปรวนของข้อมูลได้ผลตามข้อ 4.2.1 – 4.2.4 สามารถสรุปได้ว่า ชนิด และปริมาณของเส้นใยจากกากหมากแดง กากกล้วยน้ำว้า ชานอ้อยพันธุ์สุพรรณ 50 และ บวบเหลี่ยม มีผลกระทบต่อคุณสมบัติการรับแรงดึง ความต้านทานต่อแรงกระแทก ความแข็ง และ การดูดซับน้ำ ของคอม โพลีลิกชีวภาพที่มีพลาสติกชีวภาพ PLA เป็นวัสดุเนื้อหลัก

## 5.2 ข้อเสนอแนะ

5.2.1 การค้นหาข้อมูลคอมพิวเตอร์ชีวภาพได้ค่อนข้างยาก

5.2.3 ผู้ปฏิบัติงานต้องมีความรู้เกี่ยวกับวิธีการใช้เครื่องอัดขึ้นรูปพลาสติก (Compression Molding) เพื่อลดอุบัติเหตุที่อาจเกิดขึ้นได้

5.2.4 ผู้ปฏิบัติงานต้องมีความรู้เกี่ยวกับวิธีการใช้เครื่องทดสอบคุณสมบัติการรับแรงดึง ความต้านทานต่อแรงกระแทก ความแข็งของคอมพิวเตอร์ชีวภาพร่วมกับเพื่อให้ผลการทดลองถูกต้องตาม ASTM

5.2.5 เนื่องจากลักษณะและการเรียงตัวของเส้นใยเป็นปัจจัยที่มีผลต่อคุณสมบัติของคอมพิวเตอร์เช่นกัน แต่ไม่ได้ศึกษาในงานวิจัยนี้ จึงควรทำการศึกษาผลของการจัดเรียงตัว ความยาว และลักษณะของเส้นใยต่อคุณสมบัติของคอมพิวเตอร์

5.2.6 เครื่องมืออัดขึ้นรูปพลาสติกควรสามารถปรับค่าปัจจัยต่างๆ ในการขึ้นรูปได้ครอบคลุมเพื่อแก้ไขปัญหาของชิ้นงานที่อาจเกิดขึ้นจากการขึ้นรูป

5.2.7 จากโครงการนี้ไม่สามารถสรุปผลของการย่อยสลายได้ จึงควรทำการศึกษาเพิ่มเติม อาจโดยการเพิ่มระยะเวลา หรือลดความหนาของชิ้นงานลง

5.2.8 ทำการศึกษาโปรแกรมสำเร็จรูปทางสถิติ เช่น SPSS, MINITAB เพิ่มเติม เพื่อสะดวกในการวิเคราะห์ข้อมูลทางสถิติ

## เอกสารอ้างอิง

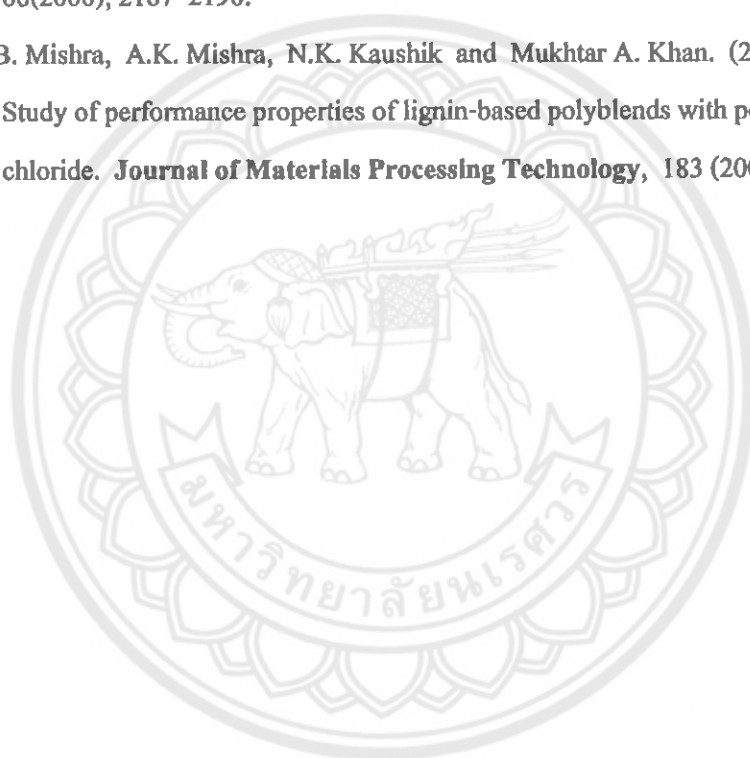
- กุลประภา กลุ่มรักษ์โลก [นามแฝง]. (2551). พลาสติกชีวภาพ ย่อยสลายได้เพื่อ  
สิ่งแวดล้อม. 54(2819),102.
- โครงการสารานุกรมไทยสำหรับเยาวชน โดยพระราชประสงค์ในพระบาทสมเด็จพระเจ้าอยู่หัว.  
(2534). ใน สารานุกรมไทยสำหรับเยาวชน โดย พระราชประสงค์ใน  
พระบาทสมเด็จพระเจ้าอยู่หัว, (เล่มที่ 5, หน้า 104). กรุงเทพฯ : บริษัท รุ่งศิลป์  
การพิมพ์ (1977) จำกัด.
- โครงการสารานุกรมไทยสำหรับเยาวชน โดยพระราชประสงค์ในพระบาทสมเด็จพระเจ้าอยู่หัว.  
(2537). ใน สารานุกรมไทยสำหรับเยาวชน โดย พระราชประสงค์ในพระบาทสมเด็จพระ  
เจ้าอยู่หัว, (เล่มที่ 17, หน้า 191-192). กรุงเทพฯ : บริษัท คำนวณวิชาการพิมพ์ จำกัด.
- ดร.จินตมัย สุวรรณประทีป. (2547). การทดสอบสมบัติทางกลของพลาสติก. : สมาคมส่งเสริม  
เทคโนโลยี (ส.ส.ท).
- ฉลอง สีแก้วสีว. สถิติ. สืบค้นเมื่อ 15 กันยายน 2552, จาก [http://www.geocities.com/  
chalong\\_sri/reg1.htm](http://www.geocities.com/chalong_sri/reg1.htm)
- ชัยณรงค์ รัตนกริธากุล. (2547). วัสดุย่อยสลายได้ทางชีวภาพกับการใช้ประโยชน์ใน  
ปัจจุบัน. วารสารข่าว ศูนย์ปฏิบัติการวิจัยและเรือนปลูกพืชทดลอง. 18(1), 18-19,23.
- ทองสุข แสงหาชัย. (16 มีนาคม 2552). ไบโอบีโกลี สืบค้นเมื่อ 1 สิงหาคม 2552, จาก  
[http://www.biogang.net/content\\_detail.php?menu=biodiversity&  
uid=3493&id=19149](http://www.biogang.net/content_detail.php?menu=biodiversity&uid=3493&id=19149)
- นาวิณ คุณกิตติ และคณะ. (29 มิถุนายน 2549). กระบวนการผลิต Polylactic acid.  
พลาสติกจากข้าวโพด สืบค้นเมื่อ 29 กรกฎาคม 2552, จาก  
[http://www.mwit.ac.th/~sasinee/studentwork/work/105\\_mwit13/room3/plas\\_com.pps](http://www.mwit.ac.th/~sasinee/studentwork/work/105_mwit13/room3/plas_com.pps).
- บุญรักษ์ กาญจนวรวณิชย์. (10 กรกฎาคม 2551). คณะวิทยาศาสตร์ มหาวิทยาลัยเทคโนโลยีราชมงคล  
สืบค้นเมื่อ 2 สิงหาคม 2552, จาก  
[http://www.electron.rmutphysics.Com/chemistry-glossary/index.php?  
option=com\\_content&task=view&id=1204&Itemid=153](http://www.electron.rmutphysics.Com/chemistry-glossary/index.php?option=com_content&task=view&id=1204&Itemid=153).
- ปรกรณ์ และ มัณฑนา โอภาประภาสิต. (13 กุมภาพันธ์ 2551). พอลิเมอร์ วัสดุเอนกประสงค์.  
วิชาการคอตคอมสืบค้นเมื่อ 5 มิถุนายน 2552, จาก  
<http://www.vcharkam.com/varticle/18774>.

## เอกสารอ้างอิง (ต่อ)

- ปราณี ชุมสำโรง.(2547).การศึกษาคุณสมบัติเชิงกลของพลาสติกเสริมแรงด้วยเส้นใยธรรมชาติที่มีในประเทศไทย.ศึกษาด้วยตนเอง.นครราชสีมา : มหาวิทยาลัยเทคโนโลยีสุรนารี.
- ดร.พงษ์ชนัน เหลืองไพบูลย์. (2546).เอกสารคำสอนการออกแบบการทดลอง. ภาควิชาวิศวกรรมศาสตร์ . มหาวิทยาลัยธรรมศาสตร์.
- พรนลัท สิงห์รัตนพันธุ์ และ กษมา เข้มศรี. (26 ธันวาคม 2546). โครงสร้างเปิดธรรมชาติ. โครงการออกแบบเชิงปฏิบัติการ การออกแบบวัสดุ สืบค้นเมื่อ 1 สิงหาคม 2552, จาก<http://www.arch.ku.ac.th/wood/document/proj-summary-web.pdf>
- พิชิต เสียมพิพัฒน์.(2536).พลาสติก. (ครั้งที่ 10). กรุงเทพฯ : ห้างหุ้นส่วนจำกัด ป.สัมพันธ์พาณิชย์.
- พูนศักดิ์ สักกทัตติยกุล. (5 ธันวาคม 2551). พลาสติกชีวภาพ (Bioplastic). ไทยทีวีคิวคอตคอม สืบค้นเมื่อ 5 มิถุนายน 2552, จาก<http://www.thaigoodview.com/node/17034?page=0%2C1>.
- มูลนิธิวิกิมีเดีย. (16 กรกฎาคม 2552). หมากสง.วิกิพีเดีย สารานุกรมเสรี สืบค้นเมื่อ 1 สิงหาคม 2552 , จาก <http://th.wikipedia.org/wiki/%E0%B8%AB%E0%B8%AB%E0%B8%A1%E0%B8%B2%E0%B8%81%E0%B8%AA%E0%B8%87>
- วรวดี สุชัยยะ. (2551). การเตรียมฟิล์มไบโอคอมโพสิตของแป้งมันสำปะหลังที่เสริมแรงด้วยคริสตันลินเซลลูโลส. กรุงเทพฯ : จุฬาลงกรณ์มหาวิทยาลัย.
- วีระชัย ลามอ. (1 พฤษภาคม 2550). ความแข็ง. สืบค้นเมื่อ 12 มิถุนายน 2552, จาก [http://www.dss.go.th/dssweb/st-articles/files/pep\\_5\\_2550\\_hardness.pdf](http://www.dss.go.th/dssweb/st-articles/files/pep_5_2550_hardness.pdf).
- สมเกียรติ ปฐมภินันท์, อนุชิต พิสุทธิเลิศมานะ, พัฒนะ แก้วสว่าง. (2545). ความเป็นไปได้ในการแยกเส้นใยจากกาบหมากนวล.ศึกษาด้วยตนเอง. ปทุมธานี : มหาวิทยาลัยเทคโนโลยีราชมงคลธัญบุรี.
- อุดมวิทย์ กาญจนวงศ์. (2545). การทดสอบวัสดุ. (พิมพ์ครั้งที่1). กรุงเทพฯ: สกายบุ๊คส์ จำกัด.
- Ghali L., Msahli S., Zidi M. and Sakli F. (2009). Effect of pre-treatment of Luffa fibers on the structural properties. *Materials Letters*, 63(2009)61-63.

## เอกสารอ้างอิง (ต่อ)

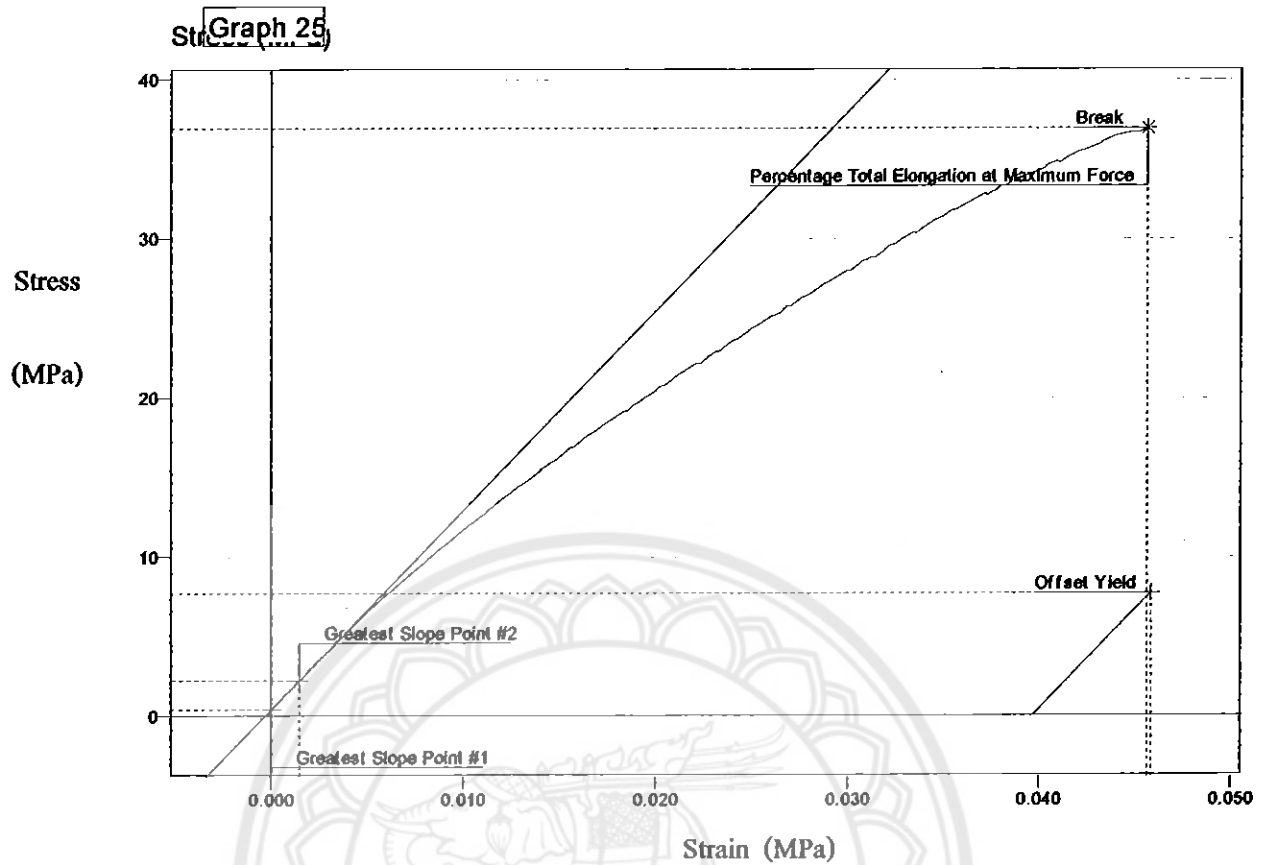
- Kiruthika A. V. and Veluraja K. (2009). Experimental Studies on the Physico-chemical Properties of Banana Fiber from Various Varieties. **Fibers and Polymers**, Vol.10, No.2, 193-199.
- Petersson, L. and Oksman, K. (2006). Biopolymer based nanocomposites : Comparing layered silicates and microcrystalline cellulose as nanoreinforcement. **Composites Science and Technology**, 66(2006), 2187–2196.
- Shivani B. Mishra, A.K. Mishra, N.K. Kaushik and Mukhtar A. Khan. (2007). Study of performance properties of lignin-based polyblends with polyvinyl chloride. **Journal of Materials Processing Technology**, 183 (2007) 273–276.





ตารางที่ ก.1 ตารางบันทึกผลคุณสมบัติการรับแรงดึง

ชนิด	ปริมาณวัสดุ เสริมแรง (%wt)	Tensile Strength (MPa)						เฉลี่ย (MPa)
		ชั้นที่ 1	ชั้นที่ 2	ชั้นที่ 3	ชั้นที่ 4	ชั้นที่ 5	ชั้นที่ 6	
Pure PLA		49.51263	56.69535	56.89196	57.26892	59.45521	57.96016	56.29737
หมาก	0.25%	50.03478	45.96559	53.23607	50.65704	47.56888	39.31182	47.79570
	0.5%	29.27880	37.69939	45.54287	57.20531	41.46685	50.22697	43.57003
	1%	46.57389	42.97730	49.67493	39.86334	54.18315	35.36703	44.77327
	2%	34.83867	38.34780	38.81516	39.92183	29.38669	34.56995	34.90924
กล้วย	0.25%	50.64384	50.32183	40.36842	50.06058	51.89424	43.83520	47.85402
	0.5%	49.18820	52.03872	53.38848	47.97692	52.73896	49.36487	50.33849
	1%	43.71434	44.89283	52.03903	50.69286	34.79817	25.08422	41.87024
	2%	37.10762	38.99155	36.01669	30.07788	45.61680	42.66815	38.41311
อ้อย	0.25%	32.06293	44.71123	53.70683	49.80701	40.16033	42.76530	43.86894
	0.5%	51.39577	45.35643	35.88164	34.58143	46.84977	45.14079	43.20097
	1%	40.79165	13.42290	35.95961	32.19840	34.05743	35.71766	32.02461
	2%	28.80901	37.26600	33.92585	38.61510	33.25484	30.32445	33.69921
บวบ	0.25%	39.96375	42.60168	38.64086	38.32908	41.49824	43.41297	40.74110
	0.5%	37.39417	45.94542	43.60680	41.12768	45.85969	40.72150	42.44254
	1%	42.36804	36.79452	42.77925	37.41565	45.36630	40.17823	40.81700
	2%	38.39774	42.23482	42.68954	46.46582	36.90160	45.40199	42.01525



รูปที่ ก.1 ตัวอย่างกราฟแสดงความสัมพันธ์ระหว่าง Stress และ Strain ของคอม โพลีคชีวกาพจาก เส้นใยคากด้วยน้ำว้าที่ปริมาณ 2%wt

ตารางที่ ก.2 ตารางบันทึกผลคุณสมบัติความต้านทานต่อแรงกระแทก

ชนิด	ปริมาณวัสดุ เสริมแรง (กรัม)	ค่าความต้านทานต่อแรงกระแทก (J/mm <sup>2</sup> )												เฉลี่ย (J/mm <sup>2</sup> )		
		ชั้นที่ 1	ชั้นที่ 2	ชั้นที่ 3	ชั้นที่ 4	ชั้นที่ 5	ชั้นที่ 6	ชั้นที่ 7	ชั้นที่ 8	ชั้นที่ 9	ชั้นที่ 10	ชั้นที่ 11	ชั้นที่ 12			
Pure		0.242	0.237	0.235	0.238	0.238	0.237	0.235	0.237	0.240	0.238	0.235	0.238	0.235	0.238	0.238
หนัก	0.25%	0.234	0.236	0.236	0.234	0.235	0.234	0.233	0.235	0.237	0.232	0.236	0.234	0.235	0.236	0.235
	0.5%	0.237	0.235	0.236	0.238	0.236	0.237	0.238	0.237	0.237	0.238	0.235	0.237	0.235	0.237	0.237
	1%	0.232	0.237	0.235	0.235	0.234	0.235	0.235	0.232	0.234	0.237	0.234	0.232	0.234	0.235	0.235
	2%	0.234	0.235	0.235	0.231	0.226	0.238	0.234	0.238	0.229	0.234	0.234	0.238	0.234	0.225	0.233
กล้าย	0.25%	0.234	0.235	0.233	0.234	0.234	0.231	0.237	0.235	0.233	0.234	0.234	0.234	0.235	0.234	0.234
	0.5%	0.235	0.237	0.235	0.237	0.235	0.235	0.235	0.238	0.240	0.233	0.237	0.237	0.235	0.237	0.236
	1%	0.238	0.238	0.238	0.237	0.234	0.235	0.239	0.235	0.237	0.238	0.238	0.237	0.238	0.237	0.237
	2%	0.235	0.235	0.235	0.235	0.234	0.235	0.237	0.232	0.238	0.232	0.237	0.237	0.237	0.237	0.235
ข้อ	0.25%	0.235	0.235	0.232	0.235	0.237	0.234	0.235	0.232	0.237	0.234	0.231	0.234	0.235	0.234	0.234
	0.5%	0.238	0.235	0.237	0.234	0.238	0.235	0.234	0.238	0.238	0.235	0.238	0.238	0.235	0.237	0.236
	1%	0.237	0.238	0.238	0.240	0.237	0.237	0.234	0.238	0.238	0.237	0.235	0.237	0.235	0.237	0.237
	2%	0.238	0.238	0.234	0.238	0.237	0.238	0.234	0.238	0.235	0.238	0.237	0.237	0.237	0.237	0.237
บวม	0.25%	0.237	0.229	0.234	0.234	0.232	0.232	0.235	0.233	0.234	0.237	0.235	0.237	0.232	0.234	0.234
	0.5%	0.237	0.235	0.238	0.235	0.235	0.233	0.238	0.235	0.234	0.235	0.237	0.235	0.235	0.236	0.236
	1%	0.238	0.238	0.232	0.238	0.237	0.235	0.237	0.238	0.237	0.237	0.238	0.237	0.237	0.237	0.237
	2%	0.238	0.235	0.237	0.235	0.235	0.235	0.237	0.217	0.235	0.238	0.237	0.237	0.238	0.235	0.235

ตารางที่ ก.3 ตารางบันทึกผลคุณสมบัติความแข็ง

ชนิด	ปริมาณวัสดุ เสริมแรง (%wt)	Hardness (Shore)					เฉลี่ย (Shore)
		ชั้นที่ 1	ชั้นที่ 2	ชั้นที่ 3	ชั้นที่ 4	ชั้นที่ 5	
Pure PLA		70	74	72	76	76	73.6
หมาก	0.25%	79	78	78	77	77	77.8
	0.5%	76	79	78	77	78	77.6
	1%	78	80	80	78	80	79.2
	2%	75	78	77	78	77	77
กล้วย	0.25%	79	78	79	76	76	77.6
	0.5%	77	78	79	79	79	78.4
	1%	80	80	78	79	80	79.4
	2%	78	79	80	77	76	78
อ้อย	0.25%	76	76	76	75	76	75.8
	0.5%	79	78	80	78	79	78.8
	1%	80	79	80	78	80	79.4
	2%	80	80	80	80	79	79.8
บวบ	0.25%	75	79	79	72	73	75.6
	0.5%	75	77	77	78	79	77.2
	1%	79	79	78	75	79	78
	2%	79	75	74	74	75	75.4

ตารางที่ ก.4 ตารางบันทึกผลการดูดซับน้ำ (1/04/53)

ชนิด	ปริมาณวัสดุ เสริมแรง (%wt)	น้ำหนัก																				
		ก่อนแช่ (กรัม)					หลังแช่ (กรัม)					เปอร์เซ็นต์การดูดซับน้ำ (%)										
		1	2	3	4	5	1	2	3	4	5	1	2	3	4	5						
Pure		0.969	0.987	0.963	0.935	0.939	0.959	0.971	0.990	0.968	0.945	0.964	0.964	0.944	0.964	0.964	0.206	0.304	0.519	1.070	0.532	0.522
หมาก	0.25%	0.750	0.916	0.896	0.903	0.888	0.871	0.783	0.936	0.901	0.906	0.883	0.883	0.891	0.883	0.883	4.400	2.183	0.558	0.332	0.338	1.470
	0.5%	1.004	0.815	0.913	0.949	0.958	0.928	1.022	0.833	0.927	0.958	0.942	0.942	0.971	0.942	0.942	1.793	2.209	1.533	0.948	1.357	1.552
	1%	0.994	1.046	1.007	1.12	1.15	1.063	1.019	1.057	1.031	1.143	1.085	1.085	1.177	1.085	1.085	2.515	1.052	2.383	2.054	2.348	2.069
	2%	0.803	0.907	0.885	0.907	0.92	0.884	0.818	0.928	0.903	0.925	0.904	0.904	0.944	0.904	0.904	1.868	2.315	2.034	1.985	2.609	2.171
กล้วย	0.25%	0.965	0.855	0.843	0.88	0.972	0.903	0.981	0.857	0.848	0.881	0.908	0.908	0.974	0.908	0.908	1.658	0.234	0.593	0.114	0.206	0.576
	0.5%	1.15	1.18	1.01	0.924	0.889	1.031	1.157	1.185	1.021	0.929	1.037	1.037	0.892	1.037	1.037	0.609	0.424	1.089	0.541	0.337	0.602
	1%	0.87	0.891	0.854	0.841	0.918	0.875	0.875	0.897	0.861	0.847	0.880	0.880	0.921	0.880	0.880	0.575	0.673	0.820	0.713	0.327	0.617
	2%	0.864	0.84	0.9	0.71	0.8	0.823	0.868	0.843	0.907	0.716	0.829	0.829	0.813	0.829	0.829	0.463	0.357	0.778	0.845	1.625	0.802
ข้าว	0.25%	0.938	0.927	0.891	0.89	0.948	0.919	0.95	0.938	0.901	0.903	0.929	0.929	0.953	0.929	0.929	1.279	1.187	1.122	1.461	0.527	1.110
	0.5%	0.915	0.99	0.958	0.967	0.971	0.960	0.935	1.009	0.978	0.973	0.974	0.974	0.976	0.974	0.974	2.186	1.919	2.088	0.620	0.515	1.458
	1%	0.986	0.907	0.976	0.938	0.941	0.950	1.001	0.926	0.994	0.947	0.964	0.964	0.953	0.964	0.964	1.521	2.095	1.844	0.959	1.275	1.537
	2%	0.873	0.906	0.935	0.898	0.914	0.905	0.892	0.921	0.947	0.919	0.921	0.921	0.926	0.921	0.921	2.176	1.656	1.283	2.339	1.313	1.745
บัว	0.25%	0.94	0.955	0.937	0.876	0.937	0.929	0.95	0.967	0.943	0.887	0.95	0.95	0.95	0.939	0.939	1.064	1.257	0.640	1.256	1.387	1.119
	0.5%	1.01	0.954	0.849	0.931	0.942	0.937	1.021	0.967	0.865	0.939	0.949	0.949	0.952	0.949	0.949	1.089	1.363	1.885	0.859	1.062	1.238
	1%	0.81	1.01	0.952	0.905	0.958	0.927	0.819	1.034	0.967	0.914	0.940	0.940	0.967	0.940	0.940	1.111	2.376	1.576	0.994	0.939	1.424
	2%	0.87	0.843	0.847	0.817	0.782	0.832	0.884	0.86	0.866	0.83	0.799	0.799	0.83	0.799	0.799	1.609	2.017	2.243	1.591	2.174	1.924

ตารางที่ ก.5 ตารางบันทึกผลการดูดซับน้ำ (2/04/53)

ชนิด	ปริมาณวัสดุ เสริมแรง (%awt)	น้ำหนัก															เปอร์เซ็นต์การดูดซับน้ำ (%)				
		ก่อนแช่ (กรัม)					หลังแช่ (กรัม)					เฉลี่ย					1	2	3	4	5
		1	2	3	4	5	เฉลี่ย	1	2	3	4	5	เฉลี่ย	1	2	3	4	5	เฉลี่ย		
Pure		0.969	0.987	0.963	0.935	0.939	0.959	0.971	0.991	0.969	0.947	0.945	0.965	0.206	0.405	0.623	1.283	0.639	0.626		
หมาก	0.25%	0.750	0.916	0.896	0.903	0.888	0.871	0.784	0.938	0.902	0.909	0.893	0.885	4.533	2.402	0.670	0.664	0.563	1.677		
	0.5%	1.004	0.815	0.913	0.949	0.958	0.928	1.023	0.834	0.928	0.962	0.973	0.944	1.892	2.331	1.643	1.370	1.566	1.746		
	1%	0.994	1.046	1.007	1.120	1.150	1.063	1.020	1.059	1.031	1.148	1.177	1.087	2.616	1.243	2.383	2.500	2.348	2.219		
	2%	0.803	0.907	0.885	0.907	0.920	0.884	0.929	0.818	0.905	0.925	0.946	0.905	1.868	2.426	2.260	1.985	2.826	2.284		
กล้วย	0.25%	0.965	0.855	0.843	0.880	0.972	0.903	0.985	0.860	0.852	0.884	0.978	0.912	2.073	0.585	1.068	0.455	0.617	0.975		
	0.5%	1.150	1.180	1.010	0.924	0.889	1.031	1.162	1.186	1.022	0.931	0.894	1.039	1.043	0.508	1.188	0.758	0.562	0.815		
	1%	0.870	0.891	0.854	0.841	0.918	0.875	0.875	0.898	0.864	0.848	0.848	0.881	0.575	0.786	1.171	0.832	0.436	0.754		
	2%	0.864	0.840	0.900	0.710	0.800	0.823	0.871	0.845	0.914	0.718	0.814	0.832	0.810	0.595	1.556	1.127	1.750	1.167		
ข้าว	0.25%	0.938	0.927	0.891	0.890	0.948	0.919	0.952	0.940	0.904	0.911	0.958	0.933	1.493	1.402	1.459	2.360	1.055	1.545		
	0.5%	0.915	0.990	0.958	0.967	0.971	0.960	0.936	1.009	0.979	0.974	0.978	0.975	2.295	1.919	2.192	0.724	0.721	1.562		
	1%	0.986	0.907	0.976	0.938	0.941	0.950	1.003	0.927	0.996	0.948	0.956	0.966	1.724	2.205	2.049	1.066	1.594	1.727		
	2%	0.873	0.906	0.935	0.898	0.914	0.905	0.895	0.922	0.948	0.921	0.926	0.922	2.520	1.766	1.390	2.561	1.313	1.900		
บวบ	0.25%	0.940	0.955	0.937	0.876	0.937	0.929	0.952	0.968	0.944	0.888	0.951	0.941	1.277	1.361	0.747	1.370	1.494	1.249		
	0.5%	1.010	0.954	0.849	0.931	0.942	0.937	1.021	0.968	0.866	0.941	0.961	0.951	1.089	1.468	2.002	1.074	2.017	1.515		
	1%	0.810	1.010	0.952	0.905	0.958	0.927	0.820	1.035	0.968	0.915	0.969	0.941	1.235	2.475	1.681	1.105	1.148	1.553		
	2%	0.870	0.843	0.847	0.817	0.782	0.832	0.885	0.862	0.870	0.833	0.800	0.850	1.724	2.254	2.715	1.958	2.302	2.188		

ตารางที่ ก.6 ตารางบันทึกผลการดูดซับน้ำ (5/04/53)

ชนิด	ปริมาณวัสดุ เตรียมแรง (%wt)	น้ำหนัก															เปอร์เซ็นต์การดูดซับน้ำ (%)				
		ก่อนแช่ (กรัม)					น้ำหนัก					หลังแช่ (กรัม)					1	2	3	4	5
		1	2	3	4	5	เฉลี่ย	1	2	3	4	5	เฉลี่ย	1	2	3	4	5	เฉลี่ย		
Pure		0.969	0.987	0.963	0.935	0.939	0.959	0.973	0.995	0.973	0.955	0.950	0.969	0.413	0.811	1.038	2.139	1.171	1.106		
หมาก	0.25%	0.750	0.916	0.896	0.903	0.888	0.871	0.788	0.943	0.906	0.915	0.897	0.890	5.067	2.948	1.116	1.329	1.014	2.205		
	0.5%	1.004	0.815	0.913	0.949	0.958	0.928	1.032	0.846	0.932	0.965	0.978	0.951	2.789	3.804	2.081	1.686	2.088	2.457		
กล้วย	1%	0.994	1.046	1.007	1.120	1.150	1.063	1.023	1.061	1.039	1.154	1.183	1.092	2.918	1.434	3.178	3.036	2.870	2.689		
	2%	0.803	0.907	0.885	0.907	0.920	0.884	0.820	0.934	0.909	0.933	0.951	0.909	2.117	2.977	2.712	2.867	3.370	2.827		
กล้วย	0.25%	0.965	0.855	0.843	0.880	0.972	0.903	0.993	0.865	0.860	0.890	0.984	0.918	2.902	1.170	2.017	1.136	1.235	1.705		
	0.5%	1.150	1.180	1.010	0.924	0.889	1.031	1.164	1.192	1.034	0.939	0.897	1.045	1.217	2.376	1.623	0.900	1.017	1.417		
กล้วย	1%	0.870	0.891	0.854	0.841	0.918	0.875	0.881	0.913	0.874	0.847	0.931	0.889	1.264	2.469	2.342	0.713	1.416	1.646		
	2%	0.864	0.840	0.900	0.710	0.800	0.823	0.877	0.849	0.927	0.739	0.833	0.845	1.505	1.071	3.000	4.085	4.125	2.698		
ข้าว	0.25%	0.938	0.927	0.891	0.890	0.948	0.919	0.974	0.951	0.917	0.923	0.967	0.946	3.838	2.589	2.918	3.708	2.004	3.004		
	0.5%	0.915	0.990	0.958	0.967	0.971	0.960	0.952	1.024	0.995	0.988	0.984	0.989	4.044	3.434	3.862	2.172	1.339	2.958		
ข้าว	1%	0.986	0.907	0.976	0.938	0.941	0.950	1.012	0.937	1.006	0.963	0.970	0.978	2.637	3.308	3.074	2.665	3.082	2.949		
	2%	0.873	0.906	0.935	0.898	0.914	0.905	0.914	0.949	0.977	0.942	0.956	0.948	4.696	4.746	4.492	4.900	4.595	4.684		
ข้าว	0.25%	0.940	0.955	0.937	0.876	0.937	0.929	0.956	0.971	0.947	0.892	0.956	0.944	1.702	1.675	1.067	1.826	2.028	1.658		
	0.5%	1.010	0.954	0.849	0.931	0.942	0.937	1.027	0.971	0.868	0.946	0.966	0.956	1.683	1.782	2.238	1.611	2.548	1.963		
ข้าว	1%	0.810	1.010	0.952	0.905	0.958	0.927	0.827	1.043	0.972	0.923	0.978	0.949	2.099	3.267	2.101	1.989	2.088	2.330		
	2%	0.870	0.843	0.847	0.817	0.782	0.832	0.889	0.866	0.873	0.837	0.804	0.854	2.184	2.728	3.070	2.448	2.813	2.645		

ตารางที่ ก.7 ตารางบันทึกผลการดูดซับน้ำ (7/04/53)

ชนิด	ปริมาณวัสดุ เสริมแรง (%wt)	น้ำหนัก															เปอร์เซ็นต์การดูดซับน้ำ (%)				
		ก่อนแช่ (กรัม)					หลังแช่ (กรัม)					เฉลี่ย					1	2	3	4	5
		1	2	3	4	5	เฉลี่ย	1	2	3	4	5	เฉลี่ย	1	2	3	4	5	เฉลี่ย		
Pure		0.969	0.987	0.963	0.935	0.939	0.959	0.975	0.998	0.973	0.958	0.953	0.971	0.619	1.114	1.038	2.460	1.491	1.335		
หมาก	0.25%	0.750	0.916	0.896	0.903	0.888	0.871	0.788	0.943	0.906	0.915	0.897	0.890	5.067	2.948	1.116	1.329	1.014	2.205		
	0.5%	1.004	0.815	0.913	0.949	0.958	0.928	1.032	0.846	0.934	0.965	0.978	0.951	2.789	3.804	2.300	1.686	2.088	2.501		
	1%	0.994	1.046	1.007	1.120	1.150	1.063	1.024	1.069	1.039	1.159	1.185	1.095	3.018	2.199	3.178	3.482	3.043	2.990		
	2%	0.803	0.907	0.885	0.907	0.920	0.884	0.821	0.933	0.911	0.935	0.954	0.911	2.242	2.867	2.938	3.087	3.696	2.985		
กล้วย	0.25%	0.965	0.855	0.843	0.880	0.972	0.903	0.993	0.867	0.863	0.891	0.985	0.920	2.902	1.404	2.372	1.250	1.337	1.860		
	0.5%	1.150	1.180	1.010	0.924	0.889	1.031	1.164	1.198	1.034	0.941	0.898	1.047	1.217	1.525	2.376	1.840	1.012	1.591		
	1%	0.870	0.891	0.854	0.841	0.918	0.875	0.886	0.915	0.879	0.851	0.932	0.893	1.839	2.694	2.927	1.189	1.525	2.035		
	2%	0.864	0.840	0.900	0.710	0.800	0.823	0.879	0.849	0.933	0.744	0.837	0.848	1.736	1.071	3.667	4.789	4.625	3.111		
ธัญ	0.25%	0.938	0.927	0.891	0.890	0.948	0.919	0.976	0.956	0.918	0.924	0.967	0.948	4.051	3.128	3.030	3.820	2.004	3.200		
	0.5%	0.915	0.990	0.958	0.967	0.971	0.960	0.955	1.024	0.997	0.988	0.986	0.990	4.372	3.434	4.071	2.172	1.545	3.104		
	1%	0.986	0.907	0.976	0.938	0.941	0.950	1.016	0.938	1.009	0.965	0.973	0.980	3.043	3.418	3.381	2.878	3.401	3.222		
	2%	0.873	0.906	0.935	0.898	0.914	0.905	0.919	0.952	0.978	0.949	0.960	0.952	5.269	5.077	4.599	5.679	5.033	5.126		
บัว	0.25%	0.940	0.955	0.937	0.876	0.937	0.929	0.956	0.971	0.947	0.892	0.958	0.945	1.702	1.675	1.067	1.826	2.241	1.701		
	0.5%	1.010	0.954	0.849	0.931	0.942	0.937	1.029	0.973	0.868	0.947	0.966	0.957	1.881	1.992	2.238	1.719	2.548	2.070		
	1%	0.810	1.010	0.952	0.905	0.958	0.927	0.828	1.045	0.975	0.924	0.981	0.951	2.222	3.465	2.416	2.099	2.401	2.546		
	2%	0.870	0.843	0.847	0.817	0.782	0.832	0.893	0.867	0.875	0.839	0.807	0.856	2.644	2.847	3.306	2.693	3.197	2.933		

ตารางที่ ก.8 ตารางบันทึกผลการดูดซับน้ำ (8/04/53)

ชนิด	ปริมาณวัสดุ เสริมแรง (%พท)	น้ำหนัก										เปอร์เซ็นต์การดูดซับน้ำ (%)							
		ก่อนแช่ (กรัม)					หลังแช่ (กรัม)					1	2	3	4	5			
		1	2	3	4	5	1	2	3	4	5								
Pure		0.969	0.987	0.963	0.935	0.939	0.959	0.979	0.998	0.967	0.942	0.953	0.968	1.032	1.114	0.415	0.749	1.491	0.960
	0.25%	0.750	0.916	0.896	0.903	0.888	0.871	0.781	0.942	0.902	0.911	0.896	0.886	4.133	2.838	0.670	0.886	0.901	1.815
	0.5%	1.004	0.815	0.913	0.949	0.958	0.928	1.029	0.844	0.932	0.965	0.975	0.949	2.490	3.558	2.081	1.686	1.775	2.285
	1%	0.994	1.046	1.007	1.120	1.150	1.063	1.021	1.065	1.035	1.137	1.179	1.087	2.716	1.816	2.781	1.518	2.522	2.257
	2%	0.803	0.907	0.885	0.907	0.920	0.884	0.818	0.929	0.898	0.929	0.943	0.903	1.868	2.426	1.469	2.426	2.500	2.148
	0.25%	0.965	0.855	0.843	0.880	0.972	0.903	0.992	0.853	0.855	0.881	0.979	0.912	2.798	-0.234	1.423	0.114	0.720	0.997
	0.5%	1.150	1.180	1.010	0.924	0.889	1.031	1.164	1.184	1.032	0.928	0.892	1.040	1.217	0.339	2.178	0.433	0.337	0.912
	1%	0.870	0.891	0.854	0.841	0.918	0.875	0.890	0.911	0.866	0.846	0.925	0.888	2.299	2.245	1.405	0.595	0.763	1.463
	2%	0.864	0.840	0.900	0.710	0.800	0.823	0.874	0.847	0.931	0.736	0.833	0.844	1.157	0.833	3.444	3.662	4.125	2.601
	0.25%	0.938	0.927	0.891	0.890	0.948	0.919	0.973	0.953	0.914	0.921	0.958	0.944	3.731	2.805	2.581	3.483	1.055	2.721
	0.5%	0.915	0.990	0.958	0.967	0.971	0.960	0.950	1.021	0.995	0.985	0.978	0.986	3.825	3.131	3.862	1.861	0.721	2.666
	1%	0.986	0.907	0.976	0.938	0.941	0.950	1.012	0.932	1.004	0.961	0.973	0.976	2.637	2.756	2.869	2.452	3.401	2.822
	2%	0.873	0.906	0.935	0.898	0.914	0.905	0.915	0.951	0.977	0.944	0.957	0.949	4.811	4.967	4.492	5.122	4.705	4.817
	0.25%	0.940	0.955	0.937	0.876	0.937	0.929	0.956	0.969	0.946	0.888	0.953	0.942	1.702	1.466	0.961	1.370	1.708	1.442
	0.5%	1.010	0.954	0.849	0.931	0.942	0.937	1.022	0.970	0.867	0.943	0.966	0.954	1.188	1.677	2.120	1.289	2.548	1.750
	1%	0.810	1.010	0.952	0.905	0.958	0.927	0.827	1.045	0.973	0.923	0.980	0.950	2.099	1.989	2.206	3.465	2.296	2.438
	2%	0.870	0.843	0.847	0.817	0.782	0.832	0.894	0.865	0.874	0.839	0.805	0.855	2.759	2.610	3.188	2.693	2.941	2.837

ตารางที่ ก.๑ ตารางบันทึกผลการดูดซับน้ำ (9/04/53)

ชนิด	ปริมาณวัสดุ เตรียมแรง (%wt)	น้ำหนัก																	
		ก่อนแห้ง (กรัม)					หลังแห้ง (กรัม)					เปอร์เซ็นต์การดูดซับน้ำ (%)							
		1	2	3	4	5	1	2	3	4	5	1	2	3	4	5			
Pure		0.969	0.987	0.963	0.935	0.939	0.959	0.972	0.996	0.970	0.942	0.953	0.967	0.310	0.912	0.727	0.749	1.491	0.835
	0.25%	0.750	0.916	0.896	0.903	0.888	0.871	0.781	0.942	0.901	0.911	0.894	0.886	4.133	2.838	0.558	0.886	0.676	1.746
	0.5%	1.004	0.815	0.913	0.949	0.958	0.928	1.029	0.847	0.932	0.965	0.975	0.950	2.490	3.926	2.081	1.686	1.775	2.350
	1%	0.994	1.046	1.007	1.120	1.150	1.063	1.024	1.065	1.035	1.139	1.179	1.088	3.018	1.816	2.781	1.696	2.522	2.351
	2%	0.803	0.907	0.885	0.907	0.920	0.884	0.818	0.929	0.899	0.931	0.943	0.904	1.868	2.426	1.582	2.646	2.500	2.216
	0.25%	0.965	0.855	0.843	0.880	0.972	0.903	0.992	0.856	0.877	0.886	0.979	0.918	2.798	0.117	4.033	0.682	0.720	1.661
	0.5%	1.150	1.180	1.010	0.924	0.889	1.031	1.164	1.188	1.031	0.932	0.892	1.041	1.217	0.678	2.079	0.866	0.337	1.048
	1%	0.870	0.891	0.854	0.841	0.918	0.875	0.893	0.911	0.867	0.846	0.929	0.889	2.644	2.245	1.522	0.595	1.198	1.646
	2%	0.864	0.840	0.900	0.710	0.800	0.823	0.876	0.847	0.931	0.736	0.833	0.845	1.389	0.833	3.444	3.662	4.125	2.649
	0.25%	0.938	0.927	0.890	0.891	0.948	0.919	0.975	0.954	0.914	0.922	0.960	0.945	3.945	2.913	2.581	3.596	1.266	2.852
	0.5%	0.915	0.990	0.958	0.967	0.971	0.960	0.952	1.021	0.997	0.986	0.978	0.987	4.044	3.131	4.071	1.965	0.721	2.770
	1%	0.986	0.907	0.976	0.938	0.941	0.950	1.013	0.933	1.006	0.961	0.977	0.978	2.738	2.867	3.074	2.452	3.826	2.991
	2%	0.873	0.906	0.935	0.898	0.914	0.905	0.916	0.951	0.979	0.947	0.957	0.950	4.926	4.967	4.706	5.457	4.705	4.949
	0.25%	0.940	0.955	0.937	0.876	0.937	0.929	0.955	0.969	0.946	0.889	0.954	0.943	1.596	1.466	0.961	1.484	1.814	1.464
	0.5%	1.010	0.954	0.849	0.931	0.942	0.937	1.024	0.971	0.867	0.944	0.968	0.955	1.386	1.782	2.120	1.396	2.760	1.878
	1%	0.810	1.010	0.952	0.905	0.958	0.927	0.828	1.045	0.972	0.923	0.981	0.950	2.222	3.465	2.101	1.989	2.401	2.460
	2%	0.870	0.843	0.847	0.817	0.782	0.832	0.894	0.865	0.877	0.836	0.805	0.855	2.759	2.610	3.542	2.326	2.941	2.837